

Untersuchungen im Bereich Medizinische Laboratoriumsdiagnostik

Flexibel akkreditierte Analyten

Untersuchungsgebiete:

Klinische Chemie - *ab Seite: 01*

Immunologie - *ab Seite: 12*

Humangenetik (Molekulare Humangenetik, Cytogenetik) - *ab Seite: 15*

Mikrobiologie - *ab Seite: 26*

Virologie - *ab Seite: 34*

Transfusionsmedizin - *ab Seite: 38*

Innerhalb der mit * gekennzeichneten Prüfbereiche ist dem Laboratorium, ohne dass es einer vorherigen Information und Zustimmung der Deutschen Akkreditierungsstelle GmbH bedarf, die freie Auswahl von genormten oder ihnen gleichzusetzenden Prüfverfahren gestattet.

Innerhalb der mit ** gekennzeichneten Untersuchungsbereiche ist dem medizinischen Laboratorium, ohne dass es einer vorherigen Information und Zustimmung der DAkkS bedarf, die Modifizierung sowie Weiter- und Neuentwicklung von Untersuchungsverfahren gestattet.

Die aufgeführten Prüfverfahren sind beispielhaft. Das Laboratorium verfügt über eine aktuelle Liste aller Prüfverfahren im flexiblen Akkreditierungsbereich.

Untersuchungsgebiet: Klinische Chemie

Untersuchungsart:

Chromatographie (Gaschromatographie Massenspektrometrie (GC-MS))**

| Analyt (Meßgröße) | Untersuchungsmaterial (Matrix) | Untersuchungstechnik | Anweisung | Version |
|--|--------------------------------|----------------------|-------------|---------|
| qualitative Bestimmung von Amphetaminen, Benzodiazepinen, Opiaten, Methadon, Trizyklischen Antidepressiva, Cocain, Designerdrogen und sonstigen Medikamenten | Urin | GC/MS | TOX.M.2003. | 09 |

Datum der Aufnahme in den flex. Bereich

Untersuchungsart:
Chromatographie (Hochleistungsflüssigkeitschromatographie (HPLC))**

| Analyt (Meßgröße) | Untersuchungsmaterial (Matrix) | Untersuchungstechnik | Anweisung | Version |
|---|--|----------------------|-------------|---------|
| 5-Hydroxyindolessigsäure | 24-Stunden-Urin | HPLC - ECD | TOX.M.0014 | 04 |
| HbA1c | EDTA-Blut | HPLC - VIS | HÄM.M.0008. | 07 |
| Homocystein | Serum, Plasma (alle Zusätze außer Lithium-Heparin), Citratblut | HPLC - FLD | TOX.M.0018. | 05 |
| Homovanillinmandelsäure | 24-Stunden-Urin | HPLC - ECD | TOX.M.0014. | 04 |
| Katecholamine (Adrenalin, Dopamin, Noradrenalin) | 24-Stunden-Urin | HPLC - ECD | TOX.M.0011. | 04 |
| Serotonin | Serum, EDTA-Blut | HPLC - ECD | TOX.M.0001. | 03 |
| Tryptophan | Serum | HPLC - FID | TOX.M.0017. | 06 |
| Vanillinmandelsäure | 24h Sammelurin | HPLC - ECD | TOX.M.0014. | 04 |
| Vitamin A | Serum | HPLC - UV | TOX.M.0006. | 07 |
| Vitamin B1 | EDTA-Blut | HPLC - FLD | TOX.M.0008. | 05 |
| Vitamin B2 | EDTA-Blut | HPLC - FLD | TOX.M.0010. | 05 |
| Vitamin B6 | Serum, EDTA-Plasma | HPLC - FLD | TOX.M.0003. | 08 |
| Vitamin C | EDTA-Plasma | HPLC - UV | TOX.M.0012. | 07 |
| Vitamin E | Serum | HPLC - UV | TOX.M.0006. | 07 |

Datum der Aufnahme in den flex. Bereich

Untersuchungsart:
Chromatographie (Hochleistungsflüssigkeitschromatographie/ Massenspektrometrie (LCMS/MS))**

| Analyt (Meßgröße) | Untersuchungsmaterial (Matrix) | Untersuchungstechnik | Anweisung | Version |
|-------------------------------|--------------------------------|----------------------|--------------------|-----------|
| 3-Methoxytyramin | EDTA-Plasma | LCMS/MS | TOX.M.4018. | 02 |
| 10-OH-Carbazepin | Serum, EDTA-Plasma | LCMS/MS | TOX.M.4002. | 07 |
| 17-OH-Progesteron | Serum | LCMS/MS | TOX.M.4011. | 04 |
| Aldosteron | Serum | LCMS/MS | TOX.M.4011. | 04 |
| Amiodaron/Desethylamiodaron | Serum, EDTA-Plasma | LCMS/MS | TOX.M.4009. | 03 |
| Androstendion | Serum | LCMS/MS | TOX.M.4011. | 04 |
| Aripiprazol | Serum, EDTA-Plasma | LCMS/MS | TOX.M.4003. | 04 |
| Brivaracetam | Serum, EDTA-Plasma | LCMS/MS | TOX.M.4002. | 07 |
| Buprenorphin, Norbuprenorphin | Urin, Serum | LCMS/MS | TOX.M.4020. | 03 |
| Carbamazepin | Serum, EDTA-Plasma | LCMS/MS | TOX.M.4002. | 07 |
| Carbamazepin-Diol | Serum, EDTA-Plasma | LCMS/MS | TOX.M.4002. | 07 |
| Carbamazepin-epoxid | Serum, EDTA-Plasma | LCMS/MS | TOX.M.4002. | 07 |

Datum der Aufnahme in den flex. Bereich

25.10.2024

14.01.2019

| Analyt (Meßgröße) | Untersuchungsmaterial (Matrix) | Untersuchungstechnik | Anweisung | Version |
|--------------------------------|---|----------------------|--------------------|-----------|
| Citalopram | Serum, EDTA-Plasma | LCMS/MS | TOX.M.4004. | 04 |
| Clozapin, Desmethylclozapin | Serum, EDTA-Plasma | LCMS/MS | TOX.M.4003. | 04 |
| Cortisol | Speichel | LCMS/MS | TOX.M.4014. | 01 |
| Cortisol | Urin | LCMS/MS | TOX.M.4011. | 04 |
| Cyclosporin | EDTA-Blut | LCMS/MS | TOX.M.4001. | 03 |
| Desmethylnesuximid | Serum, EDTA-Plasma | LCMS/MS | TOX.M.4002. | 07 |
| DHEA | Serum | LCMS/MS | TOX.M.4011. | 04 |
| Drogen | Speichel, Serum/EDTA-Plasma, Kapillarblut | LCMS/MS | TOX.M.4017. | 06 |
| Duloxetin | Serum, EDTA-Plasma | LCMS/MS | TOX.M.4004. | 04 |
| Ethosuximid | Serum, EDTA-Plasma | LCMS/MS | TOX.M.4002. | 07 |
| Ethylglucuronid | Urin, Serum | LCMS/MS | TOX.M.4013. | 02 |
| Ethylsulfat | Urin, Serum | LCMS/MS | TOX.M.4013. | 02 |
| Everolimus | EDTA-Blut | LCMS/MS | TOX.M.4001. | 03 |
| Felbamat | Serum, EDTA-Plasma | LCMS/MS | TOX.M.4002. | 07 |
| Fluoxetin, Desmethylfluoxetin | Serum, EDTA-Plasma | LCMS/MS | TOX.M.4004. | 04 |
| Fluvoxamin | Serum, EDTA-Plasma | LCMS/MS | TOX.M.4004. | 04 |
| Gabapentin | Serum, EDTA-Plasma | LCMS/MS | TOX.M.4002. | 07 |
| Haloperidol | Serum, EDTA-Plasma | LCMS/MS | TOX.M.4003. | 04 |
| Lacosamid | Serum, EDTA-Plasma | LCMS/MS | TOX.M.4002. | 07 |
| Lamotrigin | Serum, EDTA-Plasma | LCMS/MS | TOX.M.4002. | 07 |
| Levetiracetam | Serum, EDTA-Plasma | LCMS/MS | TOX.M.4002. | 07 |
| LSD | Urin | LCMS/MS | TOX.M.4017. | 06 |
| Metanephrine / Normetanephrine | EDTA-Plasma | LCMS/MS | TOX.M.4018. | 02 |
| Metanephrine / Normetanephrine | Urin | LCMS/MS | TOX.M.4021. | 01 |
| Methylmalonsäure | Serum, Urin | LCMS/MS | TOX.M.4008. | 03 |
| Mirtazapin | Serum, EDTA-Plasma | LCMS/MS | TOX.M.4004. | 04 |
| Olanzapin, N-Desmethyloanzapin | Serum, EDTA-Plasma | LCMS/MS | TOX.M.4003. | 04 |
| Oxcarbazepin | Serum, EDTA-Plasma | LCMS/MS | TOX.M.4002. | 07 |
| Paroxetin | Serum, EDTA-Plasma | LCMS/MS | TOX.M.4004. | 04 |
| Perampanel | Serum, EDTA-Plasma | LCMS/MS | TOX.M.4002. | 07 |
| Phenobarbital | Serum, EDTA-Plasma | LCMS/MS | TOX.M.4002. | 07 |
| Phenytoin | Serum, EDTA-Plasma | LCMS/MS | TOX.M.4002. | 07 |
| Phosphatidylethanol | EDTA-Blut, Citrat-Blut, Kapillarblut | LCMS/MS | TOX.M.4019. | 04 |
| Pregabalin | Serum, EDTA-Plasma | LCMS/MS | TOX.M.4002. | 07 |
| Pregabalin | Urin | LCMS/MS | TOX.M.4020. | 03 |
| Primidon | Serum, EDTA-Plasma | LCMS/MS | TOX.M.4002. | 07 |

Datum der Aufnahme in den flex. Bereich

14.01.2019

25.10.2024

02.09.2019

| Analyt (Meßgröße) | Untersuchungsmaterial (Matrix) | Untersuchungstechnik | Anweisung | Version |
|----------------------------------|--------------------------------|----------------------|-------------|---------|
| Quetiapin | Serum, EDTA-Plasma | LCMS/MS | TOX.M.4003. | 04 |
| Risperidon, 9-OH-Risperidon | Serum, EDTA-Plasma | LCMS/MS | TOX.M.4003. | 04 |
| Rufinamid | Serum, EDTA-Plasma | LCMS/MS | TOX.M.4002. | 07 |
| Sertralin, N-Desmethylsertralin | Serum, EDTA-Plasma | LCMS/MS | TOX.M.4004. | 04 |
| Sirolimus | EDTA-Blut | LCMS/MS | TOX.M.4001. | 03 |
| Stiripentol | Serum, EDTA-Plasma | LCMS/MS | TOX.M.4002. | 07 |
| Sultiam | Serum, EDTA-Plasma | LCMS/MS | TOX.M.4002. | 07 |
| Tacrolimus | EDTA-Blut | LCMS/MS | TOX.M.4001. | 03 |
| THC-COOH, qualitativ | Urin | LCMS/MS | TOX.M.4020. | 03 |
| Theophyllin | Serum, EDTA-Plasma | LCMS/MS | TOX.M.4002. | 07 |
| Tiagabin | Serum, EDTA-Plasma | LCMS/MS | TOX.M.4002. | 07 |
| Topiramat | Serum, EDTA-Plasma | LCMS/MS | TOX.M.4002. | 07 |
| Venlafaxin, O-Desmethylenlafaxin | Serum, EDTA-Plasma | LCMS/MS | TOX.M.4004. | 04 |
| Vigabatrin | Serum, EDTA-Plasma | LCMS/MS | TOX.M.4002. | 07 |
| Zonisamid | Serum, EDTA-Plasma | LCMS/MS | TOX.M.4002. | 07 |
| Valproinat | Serum, EDTA-Plasma | LCMS/MS | TOX.M.4002. | 07 |

Datum der Aufnahme in den flex. Bereich

30.03.2020

Untersuchungsart:
Durchflusszytometrie (inkl. Partikeleigenschaftsbestimmungen)*

| Analyt (Meßgröße) | Untersuchungsmaterial (Matrix) | Untersuchungstechnik | Anweisung | Version |
|--|--------------------------------|---|---|----------------|
| Blutzellen - Erythrozyten - Thrombozyten | EDTA-Blut | Partikel-/Zellzählung mittels Impedanz-Methode (Widerstandsänderungsmessung) und weitere Berechnung | HÄM.M.0007. | 09 |
| Blutzellen - Leukozyten - Monozyten - Lymphozyten - Granulozyten - Eosinophile - Thrombozyten - Basophile | EDTA-Blut | Flowzytometrie mittels Halbleiterlaser | HÄM.M.0007. | 09 |
| Blutzellen - Leukozyten | Liquor, Punktat | Flowzytometrie mittels Halbleiterlaser | HÄM.M.0009. HÄM.M.0016. HÄM.M.0011. | 06 13 04 |

Datum der Aufnahme in den flex. Bereich

| Analyt (Meßgröße) | Untersuchungsmaterial (Matrix) | Untersuchungstechnik | Anweisung | Version |
|---------------------------|--------------------------------|---|-------------|---------|
| Hämatokrit | EDTA-Blut | Partikel-/Zellzählung mittels Impedanz-Methode (Widerstandsänderungsmessung) und weitere Berechnung | HÄM.M.0007. | 09 |
| MCV MCH MCHC | EDTA-Blut | Berechnung aus Mittelwerten der Erythrozytenmessung und der Hämoglobinbestimmung | HÄM.M.0007. | 09 |
| Retikulozyten | EDTA-Blut | Flowzytometrie mittels Halbleiterlaser | HÄM.M.0007. | 09 |
| Retikulozyten-Hb (Ret-HE) | EDTA-Blut | Flowzytometrie mittels Halbleiterlaser | HÄM.M.0007. | 09 |

Datum der Aufnahme in den flex. Bereich

Untersuchungsart:
Untersuchungsart: Elektrochemische Untersuchungen**

| Analyt (Meßgröße) | Untersuchungsmaterial (Matrix) | Untersuchungstechnik | Anweisung | Version |
|--------------------------|-------------------------------------|---------------------------|-------------|---------|
| Chlorid | Serum, Lithium-Heparin-Plasma, Urin | Ionensensitive Elektroden | CHE.M.0011. | 02 |
| Kalium | Serum, Lithium-Heparin-Plasma, Urin | Ionensensitive Elektroden | CHE.M.0028. | 04 |
| Natrium | Serum, Lithium-Heparin-Plasma, Urin | Ionensensitive Elektroden | CHE.M.0034. | 02 |
| pH-Wert (Drogensuchtest) | Urin | pH-Meter | TOX.M.2014. | 05 |

Datum der Aufnahme in den flex. Bereich

Untersuchungsart:
Elektrophorese*

| Analyt (Meßgröße) | Untersuchungsmaterial (Matrix) | Untersuchungstechnik | Anweisung/ | Version |
|--|--------------------------------|------------------------------|----------------------------|------------|
| CDT (Carbohydrase-defizientes Transferrin) | Serum | Kapillaronenelektrophorese | CHE.M.3002. | 03 |
| Eiweißelektrophorese | Serum | Kapillaronenelektrophorese | CHE.M.3001. | 02 |
| Paraproteine | Serum | Immunfixationselektrophorese | IMM.M.1004. IMM.M.1007. | 001 001 |
| Paraproteine | Urin | Immunfixationselektrophorese | IMM.M.1005. | 001 |

Datum der Aufnahme in den flex. Bereich

Untersuchungsart:

Ligandenassays*

| Analyt (Meßgröße) | Untersuchungsmaterial (Matrix) | Untersuchungstechnik | Anweisung | Version | Datum der Aufnahme in den flex. Bereich |
|-------------------------|---|-------------------------|--------------------|-----------|---|
| 1,25 Dihydroxyvitamin D | Serum, EDTA-Plasma, Lithium-Heparin | CLIA | AUT.M.0066. | 04 | |
| 17-Beta- Oestradiol | Serum, Heparin-Plasma, EDTA-Plasma | CLIA | CHE.M.2012. | 04 | |
| ACTH | EDTA-Plasma | CLIA | AUT.M.0068. | 05 | |
| Aldosteron | Serum, EDTA-Plasma | CLIA | AUT.M.0059. | 05 | |
| Alpha-Fetoprotein | Serum, Fruchtwasser | CLIA | CHE.M.2026. | 03 | |
| Amphetamine | Urin | ELISA (CEDIA) | TOX.M.2013. | 06 | |
| Barbiturate | Urin | ELISA (CEDIA) | TOX.M.2015. | 06 | |
| Benzodiazepine | Urin | ELISA (CEDIA) | TOX.M.2004. | 06 | |
| Beta HCG | Serum | CLIA | CHE.M.2041. | 01 | |
| CA 15-3 | Serum | CLIA | CHE.M.2030. | 01 | |
| CA 19-9 | Serum | CLIA | CHE.M.2028. | 01 | |
| CA125 | Serum | CLIA | CHE.M.2029. | 01 | |
| Cannabis | Urin | ELISA (CEDIA) | TOX.M.2005. | 06 | |
| CEA | Serum | CLIA | CHE.M.2001. | 03 | |
| Cocain | Urin | ELISA (CEDIA) | TOX.M.2006. | 06 | |
| Cortisol | Serum | CLIA | CHE.M.2002. | 03 | |
| C-Peptid | Serum | CLIA | CHE.M.2024. | 03 | |
| DHEAS | Serum | CLIA | CHE.M.2025. | 04 | |
| Digoxin | Serum | CLIA | CHE.M.2004. | 03 | |
| Ferritin | Serum, Heparin-Plasma, EDTA-Plasma | CLIA | CHE.M.2005. | 05 | |
| Folsäure | Serum | CLIA | CHE.M.2009. | 05 | |
| FSH | Serum | CLIA | CHE.M.2006. | 04 | |
| FT3 | Serum | CLIA | CHE.M.2007. | 05 | |
| FT4 | Serum, Heparin-Plasma, EDTA-Plasma | CLIA | CHE.M.2008. | 05 | |
| Gentamycin | Serum, EDTA-Plasma | Fluoreszenzpolarisation | TOX.M.3008. | 06 | |
| HCG (total) | Serum | CLIA | CHE.M.2000. | 05 | |
| Holotranscobalamin | Serum | Chemilumineszenz | CHE.M.2045 | 01 | 16.08.2022 |
| IGF (Somatomedin C) | Serum | CLIA | AUT.M.0062. | 04 | |
| Insulin | Serum | CLIA | CHE.M.2023. | 04 | |
| Luteotropes Hormon, LH | Serum | CLIA | CHE.M.2011. | 04 | |
| Methadon als EDDP | Urin | ELISA (CEDIA) | TOX.M.2010. | 06 | |
| NSE | Serum, Liquor | CLIA | AUT.M.0064. | 03 | |
| NT pro BNP | Serum, Heparin-Plasma, EDTA-Plasma | CLIA | CHE.M.2046. | 01 | 01.10.2024 |
| Opiate | Urin | ELISA (CEDIA) | TOX.M.2007. | 06 | |
| Ostase | Serum | CLIA | AUT.M.0067. | 05 | |

| Analyt (Meßgröße) | Untersuchungsmaterial (Matrix) | Untersuchungstechnik | Anweisung | Version |
|--|--|----------------------|-------------|---------|
| Pankreatische Elastase | Stuhl | ELISA | IMM.M.4005. | 01 |
| Parathormon | Serum, Heparin-Plasma, EDTA-Plasma | CLIA | CHE.M.2042. | 01 |
| Progesteron | Serum | CLIA | CHE.M.2014. | 04 |
| Prolaktin | Serum | CLIA | CHE.M.2013. | 04 |
| Protein S-100 | Serum | CLIA | AUT.M.0089 | 01 |
| PSA, freies PSA | Serum | CLIA | CHE.M.2015. | 05 |
| Renin | EDTA-Plasma | CLIA | AUT.M.0060. | 05 |
| SHBG | Serum, Lithium-Heparin-Plasma | CLIA | CHE.M.2027. | 03 |
| Somatotropes Hormon (Human Growth Hormon) | Serum | CLIA | AUT.M.0061. | 03 |
| β2 Mikroglobulin | Serum, Heparin-Plasma, EDTA-Plasma, Citrat-Plasma | CLIA | AUT.M.0071. | 05 |
| Testosteron | Serum, Heparin-Plasma, EDTA-Plasma | CLIA | CHE.M.2018. | 03 |
| Troponin I Ultra Hochsensitiv | Serum, Heparin-Plasma | CLIA | CHE.M.2020. | 04 |
| TSH | Serum | CLIA | CHE.M.2019. | 05 |
| TSH-Rezeptor AK (TSI) | Serum | CLIA | CHE.M.2039. | 01 |
| Vitamin B12 | Serum, Heparin-Plasma | CLIA | CHE.M.2022. | 04 |
| Vitamin D | Serum, Heparin Plasma, EDTA-Plasma | CLIA | CHE.M.2031. | 01 |

 Datum der Aufnahme in den
flex. Bereich
15.02.2019

Nov. 2022

15.11.2021

Untersuchungsart:
Mikroskopie*

| Analyt (Meßgröße) | Untersuchungsmaterial (Matrix) | Untersuchungstechnik | Anweisung | Version |
|---|--------------------------------|--|----------------------------|----------|
| Blutzellen - Leukozyten - Erythrozyten | Liquor | Mikroskopische Kammerzählung | HÄM.M.0009. | 06 |
| Blutzellen - Monozyten - Lymphozyten - Granulozyten - Leukozytenvorstufen - Eosinophile - Basophile - Normoblasten - Erythrozyten - Thrombozyten Liquorzellen | EDTA-Blut, Liquor | Mikroskopische Beurteilung eines gefärbten Blutausstriches oder eines Zytozentrifugates (Pappenheimfärbung) | HÄM.M.0009. HÄM.M.0014. | 06 09 |

 Datum der Aufnahme in den
flex. Bereich

| Analyt (Meßgröße) | Untersuchungsmaterial (Matrix) | Untersuchungstechnik | Anweisung | Version |
|----------------------|---------------------------------|---|-------------|---------|
| Differentialzellbild | Liquor, Bronchoalveoläre Lavage | Mikroskopische Beurteilung eines gefärbten Blutausriches oder eines Zytozentrifugates (Pappenheimfärbung) | HÄM.M.0014. | 09 |

Datum der Aufnahme in den flex. Bereich

Untersuchungsart:
Spektrometrie (Inductively coupled plasma / Massenspektrometrie (ICP/MS))**

| Analyt (Meßgröße) | Untersuchungsmaterial (Matrix) | Untersuchungstechnik | Anweisung | Version |
|-------------------|--------------------------------|----------------------|--------------------|-----------|
| Aluminium | Urin | ICPMS | TOX.M.5001. | 06 |
| Antimon | Urin | ICPMS | TOX.M.5001. | 06 |
| Antimon | Serum | ICPMS | TOX.M.5002. | 05 |
| Arsen | Urin | ICPMS | TOX.M.5001. | 06 |
| Arsen | Serum | ICPMS | TOX.M.5002 | 05 |
| Bismut | Serum | ICPMS | TOX.M.5002 | 05 |
| Blei | Urin | ICPMS | TOX.M.5001. | 06 |
| Blei | Serum | ICPMS | TOX.M.5002. | 05 |
| Blei | EDTA | ICPMS | TOX.M.5003. | 03 |
| Cadmium | Urin | ICPMS | TOX.M.5001. | 06 |
| Cadmium | Serum | ICPMS | TOX.M.5002. | 05 |
| Cadmium | EDTA | ICPMS | TOX.M.5003. | 03 |
| Calcium | Serum | ICPMS | TOX.M.5004. | 02 |
| Calcium | Urin | ICPMS | TOX.M.5005. | 02 |
| Chrom | Urin | ICPMS | TOX.M.5001. | 06 |
| Chrom | Serum | ICPMS | TOX.M.5002. | 05 |
| Chrom | EDTA | ICPMS | TOX.M.5003. | 03 |
| Eisen | Urin | ICPMS | TOX.M.5001. | 06 |
| Jod | Serum | ICPMS | TOX.M.5002. | 05 |
| Jod | Urin | ICPMS | TOX.M.5001. | 06 |
| Kalium | Urin | ICPMS | TOX.M.5005 | 02 |
| Kobalt | Serum | ICPMS | TOX.M.5002. | 05 |
| Kobalt | Urin | ICPMS | TOX.M.5001. | 06 |
| Kupfer | Urin | ICPMS | TOX.M.5001. | 06 |
| Kupfer | Serum | ICPMS | TOX.M.5002. | 05 |
| Lithium | Serum | ICPMS | TOX.M.5002. | 05 |
| Magnesium | Urin | ICPMS | TOX.M.5001. | 06 |
| Magnesium | EDTA | ICPMS | TOX.M.5003. | 03 |

Datum der Aufnahme in den flex. Bereich

25.10.2024

| Analyt (Meßgröße) | Untersuchungsmaterial (Matrix) | Untersuchungstechnik | Anweisung | Version |
|-------------------|--------------------------------|----------------------|-------------|---------|
| Mangan | Urin | ICPMS | TOX.M.5001. | 06 |
| Mangan | Serum | ICPMS | TOX.M.5002. | 05 |
| Mangan | EDTA | ICPMS | TOX.M.5003. | 05 |
| Molybdän | Urin | ICPMS | TOX.M.5001. | 06 |
| Molybdän | Serum | ICPMS | TOX.M.5002. | 05 |
| Nickel | Urin | ICPMS | TOX.M.5001. | 06 |
| Nickel | Serum | ICPMS | TOX.M.5002. | 05 |
| Palladium | Urin | ICPMS | TOX.M.5001. | 06 |
| Quecksilber | Urin | ICPMS | TOX.M.5006. | 02 |
| Selen | Urin | ICPMS | TOX.M.5001. | 06 |
| Selen | Serum | ICPMS | TOX.M.5002. | 05 |
| Selen | EDTA | ICPMS | TOX.M.5003. | 03 |
| Thallium | Urin | ICPMS | TOX.M.5001. | 06 |
| Vanadium | Serum | ICPMS | TOX.M.5002. | 05 |
| Zink | Serum | ICPMS | TOX.M.5002. | 05 |
| Zink | EDTA | ICPMS | TOX.M.5003. | 03 |
| Zinn | Urin | ICPMS | TOX.M.5001. | 06 |

 Datum der Aufnahme in den
flex. Bereich

10.07.2024

Untersuchungsart:
Spektrometrie (Photometrie)**

| Analyt (Meßgröße) | Untersuchungsmaterial (Matrix) | Untersuchungstechnik | Anweisung | Version |
|------------------------------------|------------------------------------|----------------------|-------------|---------|
| ACE | Serum | Photometrie | TOX.M.3020. | 10 |
| Albumin | Serum, Heparin-Plasma, EDTA-Plasma | Photometrie | CHE.M.0001. | 02 |
| Alkalische Phosphatase | Serum, Lithium-Heparin-Plasma | Photometrie | CHE.M.0003. | 05 |
| Ammoniak | EDTA-Plasma | Photometrie | TOX.M.3021. | 07 |
| Amylase | Serum, Heparin-Plasma, Urin | Photometrie | CHE.M.0002. | 03 |
| Antithrombin | Citrat-Plasma | Photometrie | HÄM.M.1007. | 04 |
| Bilirubin ges., direkt u. indirekt | Serum, Heparin-Plasma | Photometrie | CHE.M.0005. | 02 |
| Calcium | Serum, Lithium-Heparin-Plasma | Photometrie | CHE.M.0006. | 06 |
| Calcium | Serum | Flammenphotometrie | TOX.M.3024. | 07 |
| Calcium | Urin | Flammenphotometrie | TOX.M.3034. | 06 |
| Cholesterin | Serum, Heparin-Plasma | Photometrie | CHE.M.0008. | 05 |
| Cholinesterase CHE | Serum, Heparin-Plasma | Photometrie | CHE.M.0007. | 03 |
| Creatinin | Serum, Lithium-Heparin-Plasma | Photometrie | CHE.M.0013. | 05 |
| Creatinin | Urin | Photometrie | TOX.M.3029. | 07 |
| Creatininkinase CK | Serum, Lithium-Heparin-Plasma | Photometrie | CHE.M.0010. | 04 |

 Datum der Aufnahme in den
flex. Bereich

| Analyt (Meßgröße) | Untersuchungsmaterial (Matrix) | Untersuchungstechnik | Anweisung | Version |
|----------------------------------|---|----------------------|-------------|---------|
| Creatinkinase CK-MB | Serum, Heparin-Plasma, EDTA- Plasma | Photometrie | CHE.M.0009. | 03 |
| Eisen | Serum, Lithium-Heparin-Plasma | Photometrie | CHE.M.0014. | 02 |
| Ethanol | Serum / EDTA-Plasma / Urin | Photometrie | TOX.M.2018. | 08 |
| Gamma-GT | Serum, Lithium-Heparin-Plasma | Photometrie | CHE.M.0015. | 03 |
| Gesamt-Eiweiß | Serum, Lithium-Heparin-Plasma | Photometrie | CHE.M.0016. | 06 |
| Gesamt-Eiweiß | Urin, Liquor | Photometrie | TOX.M.3022. | 10 |
| GLDH | Serum, Heparin-Plasma, EDTA-Plasma | Photometrie | CHE.M.0018. | 02 |
| Glucose | Serum, NaF-Plasma ,Fluorid-Citrat-Plasma, Lithium-Heparin-Plasma, Urin, Liquor | Photometrie | CHE.M.0017. | 02 |
| GOT | Serum, Lithium-Heparin-Plasma | Photometrie | CHE.M.0019. | 04 |
| GPT | Serum, Lithium-Heparin-Plasma | Photometrie | CHE.M.0020. | 04 |
| Hämoglobin | EDTA-Blut | Photometrie | HÄM.M.0007. | 09 |
| Harnsäure | Serum, Lithium-Heparin-Plasma, Urin | Photometrie | CHE.M.0021. | 06 |
| Harnstoff | Serum, Lithium-Heparin-Plasma, Urin | Photometrie | CHE.M.0022. | 03 |
| HBDH | Serum, Heparin-Plasma, EDTA- Plasma | Photometrie | CHE.M.0023. | 02 |
| HDL-Cholesterin | Serum, Heparin-Plasma, EDTA- Plasma | Photometrie | CHE.M.0024. | 04 |
| Laktat | NaF-Plasma ,Fluorid-Citrat- Plasma, Lithium-Heparin-Plasma, EDTA-Plasma, Liquor | Photometrie | TOX.M.3006. | 06 |
| LDH | Serum, Lithium-Heparin-Plasma | Photometrie | CHE.M.0029. | 04 |
| LDL (Direktmessung) + Berechnung | Serum, Lithium-Heparin-Plasma | Photometrie | CHE.M.0030. | 07 |
| Lipase | Serum, Lithium-Heparin-Plasma | Photometrie | CHE.M.0031. | 04 |
| Lithium | Serum | Flammenphotometrie | TOX.M.3023. | 05 |
| Magnesium | Serum, Lithium-Heparin-Plasma | Photometrie | CHE.M.0033. | 02 |
| Phosphat, anorganisch | Serum, Lithium-Heparin-Plasma, Urin | Photometrie | CHE.M.0035. | 02 |
| Protein C-Aktivität | Citrat-Plasma | Photometrie | HÄM.M.1011. | 04 |
| Triglyceride | Serum, Lithium-Heparin-Plasma | Photometrie | CHE.M.0039. | 04 |

Untersuchungsart:
Spektrometrie (Turbidimetrie)*

| Analyt (Meßgröße) | Untersuchungsmaterial (Matrix) | Untersuchungstechnik | Anweisung | Version |
|--|-------------------------------------|---|-------------|---------|
| Abgeleitetes Fibrinogen | Citrat-Plasma | Bestimmung der Konzentration durch Messung der Trübungsänderung im Gerinnungstest und Vergleich mit einer Standardkurve | HÄM.M.1003. | 07 |
| Akt. Partielle Thromboplastinzeit (aPTT) | Citrat-Plasma | Bestimmung der Gerinnungszeit in Sekunden | HÄM.M.1004. | 05 |
| APC-Resistenz durch Messung der aPTT mit/ohne Zugabe von aktiviertem Protein C (APC) | Citrat-Plasma | Bestimmung der Gerinnungszeit und Berechnung einer Ratio | HÄM.M.1009. | 06 |
| C-reaktives Protein | Serum, Lithium-Heparin-Plasma | Turbidimetrie | CHE.M.0012. | 03 |
| D-Dimere-Konzentration | Citrat-Plasma | Turbidimetrie | HÄM.M.1008. | 05 |
| Faktor VIII (VIII: C)-Aktivität | Citrat-Plasma | Bestimmung der Partiellen Thromboplastinzeit nach Inkubation mit entsprechendem Faktor-Mangel-Plasma | HÄM.M.1006. | 07 |
| Freies Protein S | Citrat-Plasma | Bestimmung über Messung der Trübungszunahme | HÄM.M.1012. | 05 |
| Fibrinogen nach Claus | Citrat-Plasma | Turbidimetrie | HÄM.M.1016. | 05 |
| hoch sensitives CRP | Serum, Heparin-Plasma, EDTA- Plasma | Turbidimetrie | CHE.M.0042. | 02 |
| Lipoprotein (a) | Serum, Lithium-Heparin-Plasma | Turbidimetrie | CHE.M.0041. | 01 |
| Lupus-Antikoagulanz qualitativ | Citrat-Plasma | Bestimmung der Gerinnungszeit mit einem spezifischen Reagenz und Bezug auf ein Normalplasma | HÄM.M.1010. | 04 |
| Rheumafaktor | Serum | Turbidimetrie | CHE.M.0036. | 03 |
| Transferrin | Serum, Lithium-Heparin-Plasma | Turbidimetrie | CHE.M.0038. | 03 |
| Thromboplastinzeit (Quick) | Citrat-Plasma | Bestimmung der Gerinnungszeit in Sekunden, Bezug auf ein Normalplasma | HÄM.M.1002. | 07 |
| Hämoglobin | Stuhl | Immunturbidimetrie | MIK.G.0706. | 01 |

Datum der Aufnahme in den flex. Bereich

Untersuchungsart:
qualitative Untersuchung mit visueller Auswertung*

| Analyt (Meßgröße) | Untersuchungsmaterial (Matrix) | Untersuchungstechnik | Anweisung | Version |
|---------------------------|--------------------------------|--------------------------------|-------------|---------|
| hCG-Nachweis (qualitativ) | Urin | Teststreifen-Methode (manuell) | TOX.M.3001. | 05 |
| pH-Wert | Urin | Farbumschlag | TOX.M.3026. | 04 |

Datum der Aufnahme in den flex. Bereich

Untersuchungsgebiet: Immunologie
Untersuchungsart:
Durchflusszytometrie**

| Analyt (Meßgröße) | Untersuchungsmaterial (Matrix) | Untersuchungstechnik | Anweisung | Version |
|---|--------------------------------|----------------------|----------------------------|-----------|
| T-Lymphozytenpopulationen, B-Lymphozyten, NK-Zellen | EDTA-Blut | Durchflusszytometrie | HÄM.M.2003. HÄM.M.2004. | 001 05 |

Datum der Aufnahme in den flex. Bereich

15.03.2024

Untersuchungsart:
Elektrophorese*

| Analyt (Meßgröße) | Untersuchungsmaterial (Matrix) | Untersuchungstechnik | Anweisung/ | Version |
|-------------------|--------------------------------|--|-------------|---------|
| Oligoklonales IgG | Serum und Liquor | isoelektrische Fokussierung und Immunfixationselektrophorese | IMM.M.1008. | 001 |

Datum der Aufnahme in den flex. Bereich

05.04.2023

Untersuchungsart:
Ligandenassays**

| Analyt (Meßgröße) | Untersuchungsmaterial (Matrix) | Untersuchungstechnik | Anweisung | Version |
|--|---|----------------------|-------------|---------|
| Anti-CCP | Serum, EDTA-Plasma, Lithium-Heparin | Chemilumineszenz | CHE.M.2040. | 03 |
| Auto-AK. gegen: DFS70 | Serum, Heparin-Plasma, EDTA-Plasma, Citrat-Plasma | ELISA | AUT.M.0072. | 03 |
| Auto-AK. gegen: Glomeruläre Basalmembran | Serum, Plasma (alle Zusätze) | FEIA | AUT.M.0058. | 04 |
| Auto-AK. gegen: Histone | Serum, Heparin-Plasma, EDTA-Plasma, Citrat-Plasma | ELISA | AUT.M.0057. | 05 |

Datum der Aufnahme in den flex. Bereich

07.06.2022

| Analyt (Meßgröße) | Untersuchungsmaterial (Matrix) | Untersuchungstechnik | Anweisung | Version | Datum der Aufnahme in den flex. Bereich |
|--|--|----------------------|-------------------|-----------|---|
| Auto-AK. gegen: Hu, Yo, Ri, Ma2, Ma1, Amphiphysin, CV2, SOX1, Tr(DNER), Zic4 | Serum | Immunoblot | IMM.M.3002. | 09 | |
| Auto-AK. gegen: Intrinsic Factor | Serum, Plasma (alle Zusätze) | FEIA | AUT.M.0075. | 03 | |
| Auto-AK. gegen: Jo-1 | Serum, Plasma (alle Zusätze) | FEIA | AUT.M.0008. | 04 | |
| Auto-AK. gegen: Laktoferrin, BPI, Cathepsin G, Elastase | Serum, EDTA-Plasma | ELISA | IMM.M.3001. | 06 | |
| Auto-AK. gegen: LKM | Serum, Heparin-Plasma, EDTA- Plasma, Citrat-Plasma | ELISA | AUT.M.0051. | 03 | |
| Auto-AK. gegen: M2 | Serum, Plasma (alle Zusätze) | FEIA | AUT.M.0049. | 03 | |
| Auto-AK. gegen: Myeloperoxidase | Serum, Plasma (alle Zusätze) | FEIA | AUT.M.0010. | 05 | |
| Auto-AK. gegen: nDNS | Serum, Plasma (alle Zusätze) | FEIA | AUT.M.0014. | 03 | |
| Auto-AK. gegen: nRNP | Serum, Plasma (alle Zusätze) | FEIA | AUT.M.0015. | 05 | |
| Auto-AK. gegen: Nukleosomen | Serum, Heparin-Plasma, EDTA- Plasma, Citrat-Plasma | ELISA | AUT.M.0052. | 05 | |
| Auto-AK. gegen: Parietalzellen | Serum, Plasma (alle Zusätze) | FEIA | AUT.M.0074. | 03 | |
| Auto-AK. gegen: Proteinase 3 | Serum, Plasma (alle Zusätze) | FEIA | AUT.M.0011. | 06 | |
| Auto-AK. gegen: Scl-70 | Serum, Plasma (alle Zusätze) | FEIA | AUT.M.0016. | 05 | |
| Auto-AK. gegen: SLA/LP | Serum, Heparin-Plasma, EDTA- Plasma, Citrat-Plasma | ELISA | AUT.M.0050. | 04 | |
| Auto-AK. gegen: Sm | Serum, Plasma (alle Zusätze) | FEIA | AUT.M.0017. | 06 | |
| Auto-AK. gegen: SSA 60 | Serum, Plasma (alle Zusätze) | FEIA | AUT.M.0018. | 06 | |
| Auto-AK. gegen: SSB | Serum, Plasma (alle Zusätze) | FEIA | AUT.M.0019. | 05 | |
| Auto-AK. gegen: ssDNA | Serum, Plasma (alle Zusätze) | FEIA | AUT.M.0076. | 04 | |
| Beta-Amyloid | Liquor | ELISA | IMM.M.2013. | 10 | 18.06.2020 |
| Calprotectin | Stuhl | CLIA | AUT.M.0077. | 04 | |
| Calprotectin | Serum | FEIA | AUT.M.0073. | 06 | |
| Cardiolipin-IgG-, IgM-Antikörper | Serum, Plasma (alle Zusätze) | FEIA | AUT.M.0005. | 04 | |
| Extrahierbare nukleäre AK | Serum, Plasma (alle Zusätze) | FEIA | AUT.M.0004. | 07 | |
| GAD | Serum | ELISA | IMM.M.2028 | 001 | 21.08.2024 |
| Gangliosid-IgG u. IgM | Serum | Immunoblot | IMM.M.3011. | 04 | |
| Gliadin-IgG-/IgA-Ak | Serum, Plasma (alle Zusätze) | FEIA | AUT.M.0012. | 04 | |
| IA2AK | Serum | ELISA | IMM.M.2027 | 01 | 21.08.2024 |
| IgE spezifisch | Serum, Plasma (alle Zusätze) | FEIA | ALG.M.0002. | 07 | |
| IgE, Gesamt | Serum, Plasma (alle Zusätze) | FEIA | ALG.M.0001. | 08 | |
| IgG spezifisch | Serum, Plasma (alle Zusätze) | FEIA | ALG.M.0003. | 05 | 07.04.2022 |
| Infliximab Monitoring | Serum, EDTA- Plasma, Citrat-Plasma | ELISA | IMM.M.2030 | 01 | 25.10.2024 |

| Analyt (Meßgröße) | Untersuchungsmaterial (Matrix) | Untersuchungstechnik | Anweisung | Version | Datum der Aufnahme in den flex. Bereich |
|---------------------------------|---|----------------------|-------------------|-----------|---|
| Infliximab Antikörper | Serum, EDTA- Plasma, Citrat-Plasma | ELISA | IMM.M.2029 | 01 | 25.10.2024 |
| Interleukin-2 Rezeptor, (lösl.) | Serum | CLIA | CHE.M.2038. | 02 | |
| Phospho-Tau | Liquor | ELISA | IMM.M.2017. | 08 | 18.06.2020 |
| Rheumafaktor IgA, IgM | Serum, Plasma (alle Zusätze) | FEIA | AUT.M.0055. | 05 | |
| Schilddrüsen-AK TPO/TAK | Serum, Heparin-Plasma, EDTA- Plasma | CLIA | CHE.M.2021. | 04 | |
| Tau-Protein | Liquor | ELISA | IMM.M.2012. | 11 | 18.06.2020 |
| Transglutaminase-IgA/IgG-Ak | Serum, Plasma (alle Zusätze) | FEIA | AUT.M.0056. | 04 | |
| Tryptase | Serum | FEIA | ALG.M.0004. | 02 | 28.12.2022 |
| TSH-Rezeptor-Ak | Serum, Heparin-Plasma, EDTA- Plasma | CLIA | CHE.M.2039. | 01 | |
| β2-Glycoprotein I IgG und IgM | Serum, EDTA- Plasma, Citrat-Plasma | FEIA | AUT.M.0090. | 01 | 31.03.2023 |

Untersuchungsart:
Spektrometrie (Turbidimetrie)*

| Analyt (Meßgröße) | Untersuchungsmaterial (Matrix) | Untersuchungstechnik | Anweisung | Version | Datum der Aufnahme in den flex. Bereich |
|---------------------------|-------------------------------------|----------------------|-------------|---------|---|
| Albumin | Liquor, Serum, Urin | Turbidimetrie | CHE.M.1002. | 03 | 21.11.2023 |
| Alpha-1-Antitrypsin | Serum, Heparin-Plasma, EDTA- Plasma | Turbidimetrie | CHE.M.1008. | 04 | 21.11.2023 |
| C3-Komplement | Serum | Turbidimetrie | CHE.M.0043. | 01 | |
| C4-Komplement | Serum | Turbidimetrie | CHE.M.0044. | 01 | |
| Coeruloplasmin | Serum, Heparin-Plasma | Turbidimetrie | CHE.M.1006. | 05 | 21.11.2023 |
| Cystatin C | Serum, Heparin-Plasma, EDTA- Plasma | Turbidimetrie | CHE.M.1003. | 03 | 21.11.2023 |
| freie Leichtketten Kappa | Serum, Heparin-Plasma, EDTA- Plasma | Turbidimetrie | CHE.M.1013. | 02 | 21.11.2023 |
| freie Leichtketten Lambda | Serum, Heparin-Plasma, EDTA- Plasma | Turbidimetrie | CHE.M.1014. | 01 | 21.11.2023 |
| Haptoglobin | Serum, Heparin-Plasma, EDTA- Plasma | Turbidimetrie | CHE.M.1007. | 04 | 21.11.2023 |
| IgA | Serum, Lithium-Heparin-Plasma | Turbidimetrie | CHE.M.0025. | 03 | |
| IgA | Liquor, Serum | Turbidimetrie | CHE.M.1018. | 01 | 21.11.2023 |
| IgG | Serum, Lithium-Heparin-Plasma | Turbidimetrie | CHE.M.0026. | 03 | |
| IgG | Liquor, Serum | Turbidimetrie | CHE.M.1001. | 04 | 21.11.2023 |
| IgG1 | Serum, Heparin-Plasma, EDTA- Plasma | Turbidimetrie | CHE.M.1009. | 04 | 21.11.2023 |
| IgG2 | Serum, Heparin-Plasma, EDTA- Plasma | Turbidimetrie | CHE.M.1015. | 01 | 21.11.2023 |
| IgG3 | Serum, Heparin-Plasma, EDTA- Plasma | Turbidimetrie | CHE.M.1016. | 01 | 21.11.2023 |
| IgG4 | Serum, Heparin-Plasma, EDTA- Plasma | Turbidimetrie | CHE.M.1017. | 01 | 21.11.2023 |
| IgM | Serum, Heparin-Plasma, EDTA- Plasma | Turbidimetrie | CHE.M.0027. | 03 | |

| Analyt (Meßgröße) | Untersuchungsmaterial (Matrix) | Untersuchungstechnik | Anweisung | Version |
|-------------------------------|--------------------------------|----------------------|-------------|---------|
| IgM | Liquor, Serum | Turbidimetrie | CHE.M.1019. | 01 |
| Löslicher Transferrinrezeptor | Serum | Turbidimetrie | CHE.M.1010. | 04 |
| STFR-Ferritin | Serum | Turbidimetrie | CHE.M.1010. | 04 |

Datum der Aufnahme in den flex. Bereich
 21.11.2023
 15.04.2024
 15.04.2024

**Untersuchungsart:
 Mikroskopie***

| Analyt (Meßgröße) | Untersuchungsmaterial (Matrix) | Untersuchungstechnik | Anweisung | Version |
|-----------------------------------|--------------------------------|----------------------|-------------|---------|
| ANA | Serum, EDTA-Plasma | IIF | IMM.M.3000. | 08 |
| Anti-Mitochondrien AK | Serum, EDTA-Plasma | IIF | IMM.M.3000 | 08 |
| Auto-AK. gegen: Aktin | Serum, EDTA-Plasma | IIF | IMM.M.3000. | 08 |
| Auto-AK. gegen: ANCA | Serum, EDTA-Plasma | IIF | IMM.M.3000. | 08 |
| Auto-AK. gegen: Endomysium | Serum, EDTA-Plasma | IIF | IMM.M.3000. | 08 |
| Auto-AK. gegen: glatte Muskulatur | Serum, EDTA-Plasma | IIF | IMM.M.3000. | 08 |
| Auto-AK. gegen: Hu, Yo, Ri | Serum, EDTA-Plasma | IIF | IMM.M.3000. | 08 |
| Auto-AK. gegen: iDNS | Serum, EDTA-Plasma | IIF | IMM.M.3000. | 08 |

Datum der Aufnahme in den flex. Bereich
 15.11.2019

Untersuchungsgebiet: Humangenetik (Cytogenetik)

**Untersuchungsart:
 Chromosomenanalyse***

| Analyt (Meßgröße) | Untersuchungsmaterial (Eingangsmaterial; ggf. Testmaterial) | Untersuchungstechnik | Anweisung+Version Pipeline/Kit/Panel | Version |
|--|---|------------------------------|--------------------------------------|---------|
| konstitutioneller Chromosomensatz (Nachweis numerischer und struktureller Chromosomenaberrationen) | Peripheres Blut | Chromosomenbänderungsanalyse | GEN.M.0400. | 06 |
| | | | GEN.M.0600. | 05 |
| | | | GEN.M.0601. | 05 |
| | | | GEN.M.0604. | 03 |
| | | | GEN.M.0605. | 04 |
| | | | GEN.M.0700. | 04 |
| | | | GEN.G.1000. | 03 |
| | | | GEN.G.1001. | 03 |
| | | | GEN.G.1002. | 03 |
| | | | GEN.G.1009. | 02 |

Datum der Aufnahme in den flex. Bereich

| Analyt (Meßgröße) | Untersuchungsmaterial (Eingangsmaterial; ggf. Testmaterial) | Untersuchungstechnik | Anweisung+Version Pipeline/Kit/Panel | Version |
|--|---|--|---|----------------------------|
| konstitutioneller Chromosomensatz (Nachweis numerischer und struktureller Chromosomenaberrationen) | Peripheres Blut und Wangenschleimhautabstrich | ● Fluoreszenz-in-situ-Hybridisierung (FISH) an nativen Zellen (Interphase) oder kultivierten Zellen (Metaphasen) | GEN.M.0501. GEN.G.0700. GEN.G.0801. | 11 06 03 |
| konstitutioneller Chromosomensatz (Nachweis chromosomaler Imbalancen) | Peripheres Blut | Vergleichende Genom-Hybridisierung an Oligonukleotid-Arrays | GEN.M.1000. GEN.M.1001. GEN.G.1010. GEN.M.1002. GEN.M.1004. | 02 03 03 02 02 |
| Hemizygoter Chromosomensatz der Keimzellen | Ejakulat | Fluoreszenz-in-situ-Hybridisierung (FISH) an dekondensierten Spermien | GEN.M.0502. GEN.G.0700. GEN.G.0801. | 01 06 03 |

Datum der Aufnahme in den flex. Bereich

● Fluoreszenz-in-situ-Hybridisierung (FISH) von Interphasezellkernen oder Metaphasen an nativen oder kultivierten Zellen im Detail:

| Chromosomenregion(en) | Genort(e) | Zielort |
|--|-----------------|------------------------------------|
| 13q14/21q22 | DSCR4 | Metaphasen und Interphasezellkerne |
| 22q11.2/22q13.3 | D22S75/SHANK3 | Metaphasen und Interphasezellkerne |
| 22q11.2/22q13.3 | HIRA/ARSA | Metaphasen und Interphasezellkerne |
| 22q11.2/22q13.3 | TBX1/SHANK3 | Metaphasen und Interphasezellkerne |
| 9q34/22q11.2 (ABL1/BCR) | ABL1/BCR | Metaphasen und Interphasezellkerne |
| Xp11.1-q11.1/Xq13 | DXZ1/XIST | Metaphasen und Interphasezellkerne |
| Xp11.1-q11.1/Yp11.1-q11.1/ 18p11.1-q11.1 | DXZ1/DYZ3/D18Z1 | Metaphasen und Interphasezellkerne |
| Xp11.1-q11.1/Yp11.1-q11.1 (DXZ1/DYZ3) | DXZ1/DYZ3 | Metaphasen und Interphasezellkerne |
| 1pter | subtelomer | Metaphasen und Interphasezellkerne |
| 2pter | subtelomer | Metaphasen und Interphasezellkerne |
| 3pter | subtelomer | Metaphasen und Interphasezellkerne |
| 4pter | subtelomer | Metaphasen und Interphasezellkerne |
| 5pter | subtelomer | Metaphasen und Interphasezellkerne |
| 6pter | subtelomer | Metaphasen und Interphasezellkerne |

Datum der Aufnahme in den flex. Bereich

31.07.2024

| Chromosomenregion(en) | Genort(e) | Zielort |
|-----------------------|------------|------------------------------------|
| 7pter | subtelomer | Metaphasen und Interphasezellkerne |
| 8pter | subtelomer | Metaphasen und Interphasezellkerne |
| 9pter | subtelomer | Metaphasen und Interphasezellkerne |
| 10pter | subtelomer | Metaphasen und Interphasezellkerne |
| 11pter | subtelomer | Metaphasen und Interphasezellkerne |
| 12pter | subtelomer | Metaphasen und Interphasezellkerne |
| 16pter | subtelomer | Metaphasen und Interphasezellkerne |
| 17pter | subtelomer | Metaphasen und Interphasezellkerne |
| 18pter | subtelomer | Metaphasen und Interphasezellkerne |
| 19pter | subtelomer | Metaphasen und Interphasezellkerne |
| 20pter | subtelomer | Metaphasen und Interphasezellkerne |
| XYpter | subtelomer | Metaphasen und Interphasezellkerne |
| 1qter | subtelomer | Metaphasen und Interphasezellkerne |
| 2qter | subtelomer | Metaphasen und Interphasezellkerne |
| 3qter | subtelomer | Metaphasen und Interphasezellkerne |
| 4qter | subtelomer | Metaphasen und Interphasezellkerne |
| 5qter | subtelomer | Metaphasen und Interphasezellkerne |
| 6qter | subtelomer | Metaphasen und Interphasezellkerne |
| 7qter | subtelomer | Metaphasen und Interphasezellkerne |
| 8qter | subtelomer | Metaphasen und Interphasezellkerne |
| 9qter | subtelomer | Metaphasen und Interphasezellkerne |
| 10qter | subtelomer | Metaphasen und Interphasezellkerne |
| 11qter | subtelomer | Metaphasen und Interphasezellkerne |
| 12qter | subtelomer | Metaphasen und Interphasezellkerne |
| 13qter | subtelomer | Metaphasen und Interphasezellkerne |

 Datum der Aufnahme in den
 flex. Bereich

| Chromosomenregion(en) | Genort(e) | Zielort |
|-----------------------|-------------|------------------------------------|
| 14qter | subtelomer | Metaphasen und Interphasezellkerne |
| 15qter | subtelomer | Metaphasen und Interphasezellkerne |
| 16qter | subtelomer | Metaphasen und Interphasezellkerne |
| 17qter | subtelomer | Metaphasen und Interphasezellkerne |
| 18qter | subtelomer | Metaphasen und Interphasezellkerne |
| 19qter | subtelomer | Metaphasen und Interphasezellkerne |
| 20qter | subtelomer | Metaphasen und Interphasezellkerne |
| 21qter | subtelomer | Metaphasen und Interphasezellkerne |
| 22qter | subtelomer | Metaphasen und Interphasezellkerne |
| XYqter | subtelomere | Metaphasen und Interphasezellkerne |

Datum der Aufnahme in den flex. Bereich

Untersuchungsgebiet: Humangenetik (Molekulare Humangenetik)

Untersuchungsart:

Molekularbiologische Untersuchungen (Amplifikationsverfahren)**

| Analyt (Meßgröße) | Untersuchungsmaterial (Eingangsmaterial; ggf. Testmaterial) | Untersuchungstechnik | Anweisung Pipeline/Kit/Panel | Version |
|--|---|---|------------------------------|---------|
| Adrenogenitales Syndrom (AGS) (CYP21A2-Gen [OMIM*613815]) | EDTA-Blut, DNA; DNA | PCR, Sangersequenzierung, MLPA | MOL.M.2094. | 05 |
| | | | MOL.M.2098. | 04 |
| | | | MOL.M.2093. | 05 |
| Adrenoleukodystrophie (ABCD1 [OMIM*300371]) | EDTA-Blut, DNA; DNA | sequence capture, Sequencing-by-synthesis | MOL.M.2094. | 05 |
| | | | MOL.M.5026. | 01 |
| | | | MOL.G.5025. | 01 |
| | | | MOL.G.5026. | 01 |
| Alpha1-Antitrypsin-Genotypisierung S-Allel und Z-Allel (OMIM#618620) | EDTA-Blut, DNA; DNA | Fluoreszenz-markierte Hybridisierungssonden (Real-time PCR) | MOD.M.1020. | 07 |

Datum der Aufnahme in den flex. Bereich

07.05.2021

| Analyt (Meßgröße) | Untersuchungsmaterial (Eingangsmaterial; ggf. Testmaterial) | Untersuchungstechnik | Anweisung Pipeline/Kit/Panel | Version | Datum der Aufnahme in den flex. Bereich |
|---|---|--|--|--|---|
| APOE -Genotypisierung (OMIM*107741, NM_00041.4) an den Genpositionen p.112 (rs429358) und p.158 (rs7412) | EDTA-Blut, DNA; DNA | Sanger-Sequenzierung | MOL.M.2094. | 05 | 19.12.2022 |
| Azoospermiefaktor (y-chromosomale Mikrodeletionen) | EDTA-Blut, DNA; DNA | Allelspezifische PCR mit größen-spezifischer DNA-Fragmentanalyse im Agarosegel | MOL.M.3020. | 01 | |
| bcr/abl Chromosomen Translokation t(9;22), CML | EDTA-Blut, DNA; DNA | Fluoreszenz-markierte Hybridisierungssonden (Real-time PCR) | MOL.M.3004. | 01 | 17.01.2019 |
| BRCA1-Gen (OMIM#604370) | EDTA-Blut, DNA; DNA | PCR, Sangersequenzierung, MLPA | MOL.M.2094. MOL.M.2098. MOL.M.2093. | 05 04 05 | |
| BRCA2-Gen (OMIM#600185) | EDTA-Blut, DNA; DNA | PCR, Sangersequenzierung, MLPA | MOL.M.2094. MOL.M.2098. MOL.M.2093. | 05 04 05 | |
| Brustkrebs familiär (ABRAXAS1 OMIM*611143, AKT1 OMIM*164730, APC OMIM*611731, ATM OMIM*607585, BAP1 OMIM*603089, BARD1 OMIM*601593, BRCA1 OMIM*133705, BRCA2 OMIM*600185, BRIP1 OMIM*605882, CDH1 OMIM* 192090, CDKN2A OMIM*600160, CHEK2 OMIM*604373, EPCAM OMIM*185535, HMMR OMIM*600936, MLH1 OMIM*120436, MSH2 OMIM*609309, MSH6 OMIM*600678, MUTYH OMIM*604933, NBN OMIM*602667, PALB2 OMIM*610355, PHB OMIM*176705, PMS2 OMIM*600259, PTEN OMIM*601728, RAD51 OMIM*179617, RAD51C OMIM*602774, RAD51D OMIM*602954, STK11 OMIM*602216, TP53 OMIM*191170, XRCC3 OMIM*600675); SNV | EDTA-Blut, DNA; DNA | sequence capture; Sequencing-by-synthesis | MOL.M.5026. MOL.M.5029. MOL.M.5027. MOL.M.5028. Sequence Pilot (Fa. JSI medical systems) | 01 02 01 01 5.2.0 2H001.1 | 07.05.2021 |
| Brustkrebs familiär (APC OMIM*611731, BRCA1 OMIM*133705, BRCA2 OMIM*600185, CDH1 OMIM* 192090, CHEK2 OMIM*604373, EPCAM OMIM*185535, MLH1 OMIM*120436, MSH2 OMIM*609309, MSH6 OMIM*600678, MUTYH OMIM*604933, PALB2 OMIM*610355, PTEN OMIM*601728, RAD51C OMIM*602774, RAD51D OMIM*602954, STK11 OMIM*60221, TP53 OMIM*191170); CNV | EDTA-Blut, DNA; DNA | sequence capture; Sequencing-by-synthesis, MLPA | MOL.M.5040. Sequence Pilot (Fa. JSI medical systems) | 01 5.2.0 | 01.10.2023 |

| Analyt (Meßgröße) | Untersuchungsmaterial (Eingangsmaterial; ggf. Testmaterial) | Untersuchungstechnik | Anweisung Pipeline/Kit/Panel | Version | Datum der Aufnahme in den flex. Bereich |
|---|--|--|---|---|--|
| CHEK2-Gen (OMIM#609265) | EDTA-Blut, DNA; DNA | PCR, Sangersequenzierung+MLPA | MOL.M.2094. MOL.M.2098. MOL.M.2093. | 05 04 05 | |
| Chorea Huntington (HD), HTT-Repeat (OMIM#143100) | EDTA-Blut, DNA; DNA | PCR, Fragmentanalyse | MOL.M.2101. MOL.M.2099. | 04 02 | |
| CYP2C9-Genotypisierung (OMIM*601130) bei Siponimod-Therapieplanung | EDTA-Blut, DNA; DNA | PCR, Sanger-Sequenzierung | MOL.M.2303. | 03 | 11.05.2020 |
| CYP2C19-Genotypisierung (OMIM*124020) bei Mavacatem-Therapieplanung | EDTA-Blut, DNA; DNA | PCR, Sanger-Sequenzierung | MOL.M.2304. | 01 | 18.04.2016 |
| Cystische Fibrose (CFTR OMIM*602421);SNV, CNV | EDTA-Blut, DNA; DNA | sequence capture; Sequencing-by- synthesis, MLPA | MOL.M.5026. MOL.M.5029. MOL.M.5027. MOL.M.5028. MOL.M.2098. MOL.M.2093. Sequence Pilot (Fa. JSI medical systems) | 01 02 01 01 04 05 5.2.0 | 01.10.2023 |
| Cystische Fibrose (CFTR-Gen [OMIM#219700]) | EDTA-Blut, DNA; DNA | PCR, Sangersequenzierung, MLPA | MOL.M.2094. MOL.M.2098. MOL.M.2093. | 05 04 05 | 07.05.2021 |
| DAO-Genotypisierung (OMIM*124050, rs10156191, rs1049742, rs2052129 und rs2268999) | EDTA-Blut, DNA; DNA | PCR, Sanger-Sequenzierung | MOL.M.2306. | 01 | 24.03.2022 |
| DPYD-Genotypisierung (rs56038477 (c.1236G/A), rs55886062 (c.1679T/G), rs3918290 (c.1905+1G/A und rs67376798 (c.2846A/T)) bei 5-Fluorouracil Therapie | EDTA-Blut, DNA; DNA | Fluoreszenz-markierte Hybridi- sierungssonden (Real-time PCR) | MOL.M.3002. | 02 | 19.11.2020 |
| Duchenne-Muskeldystrophie (DMD OMIM#310200 /BMD OMIM#300376) | EDTA-Blut, DNA; DNA | MLPA | MOL.M.2098. MOL.M.2093. | 04 05 | 19.12.2022 |
| Erblicher nicht polypöser Dickdarmkrebs (HNPCC), Lynch-Syndrom (EPCAM OMIM* 185535, MLH1 OMIM* 120436, MSH2 OMIM* 609309, MSH6 OMIM* 600678, PMS2 OMIM* 600259);SNV | EDTA-Blut, DNA; DNA | sequence capture; Sequencing-by- synthesis | MOL.M.5026. MOL.M.5029. MOL.M.5027. MOL.M.5028. Sequence Pilot (Fa. JSI medical systems) | 01 02 01 01 5.2.0 2H017.01 | 07.05.2021 |

| Analyt (Meßgröße) | Untersuchungsmaterial (Eingangsmaterial; ggf. Testmaterial) | Untersuchungstechnik | Anweisung Pipeline/Kit/Panel | Version | Datum der Aufnahme in den flex. Bereich |
|---|--|---|---|-------------------------------------|--|
| Erblicher nicht polypöser Dickdarmkrebs (HNPCC), Lynch-Syndrom (EPCAM OMIM* 185535, MLH1 OMIM* 120436, MSH2 OMIM* 609309, MSH6 OMIM* 600678, PMS2 OMIM* 600259);CNV | EDTA-Blut, DNA; DNA | sequence capture; Sequencing-by-synthesis, MLPA | MOL.M.5040. MOL.M.2098. MOL.M.2093. P008 Sequence Pilot (Fa. JSI medical systems) | 01 04 05 | 01.10.2023 |
| Faktor II Gen (G20210A) bei hereditärer Thrombophilie | EDTA-Blut, DNA; DNA | Fluoreszenz-markierte Hybridisierungssonden (Real-time PCR) | MOL.M.3001. | 02 | |
| Faktor V Leiden (G1691A) bei hereditärer Thrombophilie | EDTA-Blut, DNA; DNA | Fluoreszenz-markierte Hybridisierungssonden (Real-time PCR) | MOL.M.3001. | 02 | |
| FMR1-Repeat (OMIM*309550), Fragiles-X Syndrom (FRAX) | EDTA-Blut, DNA; DNA | PCR, Repeatanalyse | MOL.M.2104. MOL.M.2099. | 05 02 | |
| FMR1-Repeat (OMIM*309550), Prämatüre Ovarialinsuffizienz (POI) | EDTA-Blut, DNA; DNA | PCR, Repeatanalyse | MOL.M.2104. MOL.M.2099. | 05 02 | |
| FMR1-Repeat (OMIM*309550), Tremor Ataxie Syndrom (FXTAS) | EDTA-Blut, DNA; DNA | PCR, Repeatanalyse | MOL.M.2104. MOL.M.2099. | 05 02 | |
| GJB2-assoziierte Hörstörung (OMIM#220290) | EDTA-Blut, DNA; DNA | PCR, Sangersequenzierung, MLPA | MOL.M.2094. MOL.M.2098. MOL.M.2093. | 05 04 05 | 01.01.2024 |
| GSTM1, GSTT1 (polymorphe Varianten des GST-Gens (Xenobiotika-Metabolisierung)) | EDTA-Blut, DNA; DNA | Allelspezifische PCR mit größenspezifischer DNA-Fragmentanalyse im Agarosegel | MOD.M.1012. | 04 | |
| GSTP1 (polymorphe Varianten des GST-Gens (Xenobiotika-Metabolisierung)) | EDTA-Blut, DNA; DNA | PCR, Sanger-Sequenzierung | MOL.M.3010. | 02 | 01.06.2024 |
| HBA1, HBA2 (Alpha-Thalassämie, OMIM#141750) | EDTA-Blut, DNA; DNA | PCR, Sanger-Sequenzierung, MLPA | MOL.M.2094. MOL.M.2098. MOL.M.2093. | 05 04 05 | 09.12.2020 |
| HBB, HBD (Beta-Thalassämie, OMIM#141749) | EDTA-Blut, DNA; DNA | PCR, Sanger-Sequenzierung, MLPA | MOL.M.2094. MOL.M.2098. MOL.M.2093. | 05 04 05 | 01.09.2018 |
| HFE-Genotypisierung (C282Y, H63D) bei hereditärer Hämochromatose (OMIM#235200) | EDTA-Blut, DNA; DNA | Fluoreszenz-markierte Hybridisierungssonden (Real-time PCR) | MOD.M.1004. | 06 | |
| HLA-B*27-Genotypisierung bei V.a. Morbus Bechterew | EDTA-Blut, DNA; DNA | Schmelzpunktanalyse der Amplifikationsprodukte mit SYBR Green | MOD.M.1022. | 06 | |

| Analyt (Meßgröße) | Untersuchungsmaterial (Eingangsmaterial; ggf. Testmaterial) | Untersuchungstechnik | Anweisung Pipeline/Kit/Panel | Version | Datum der Aufnahme in den flex. Bereich |
|---|--|---|--|--|--|
| HLA-B*5701-Genotypisierung (Abacavir-Unverträglichkeit) | EDTA-Blut, DNA; DNA | Allelspezifische PCR mit größenspezifischer DNA-Fragmentanalyse im Agarosegel | MOD.M.1014. | 06 | |
| HLA-Typisierung bei Zöliakie | EDTA-Blut, DNA; DNA | Fluoreszenz-markierte Hybridisierungssonden (Real-time PCR) | MOL.M.3017. | 01 | 30.07.2024 |
| HNMT-Genotypisierung (rs11558538) bei Histaminintoleranz | EDTA-Blut, DNA; DNA | PCR+ Sanger-Sequenzierung | MOL.M.2307. | 01 | 01.01.2018 |
| kolorektales Carcinom (AKT1 OMIM*164730, APC OMIM*611731, ATM OMIM*607585, BAP1 OMIM*603089, BMPR1A OMIM*601299, BRAF OMIM*164757, BRCA1 OMIM*133705, BRCA2 OMIM*600185, BRIP1 OMIM*605882, CCND1 OMIM*168461, CDH1 OMIM*192090, CDKN2A OMIM*600160, CHEK2 OMIM*604373, CPA1 OMIM*114850, EPCAM OMIM*185535, MLH1 OMIM*120436, MSH2 OMIM*609309, MSH6 OMIM*600678, MUTYH OMIM*604933, NTHL1 OMIM*602656, PALB2 OMIM*610355, PMS2 OMIM*600259, POLD1 OMIM*174761, POLE OMIM*174762, PTEN OMIM*601728, RNF43 OMIM*61248, SMAD4 OMIM*600993, STK11 OMIM*602216, TP53 OMIM*191170); SNV | EDTA-Blut, DNA; DNA | sequence capture; Sequencing-by-synthesis | MOL.M.5026. MOL.M.5029. MOL.M.5027. MOL.M.5028. Sequence Pilot (Fa. JSI medical systems) | 01 02 01 01 5.2.0 2H007.1 | 07.05.2021 |
| kolorektales Carcinom (APC OMIM*611731, BMPR1A OMIM*601299, BRCA1 OMIM*133705, BRCA2 OMIM*600185, CDH1 OMIM*192090, CHEK2 OMIM*604373, EPCAM OMIM*185535, MLH1 OMIM*120436, MSH2 OMIM*609309, MSH6 OMIM*600678, MUTYH OMIM*604933, PALB2 OMIM*610355, PMS2 OMIM*600259, PTEN OMIM*601728, SMAD4 OMIM*600993, STK11 OMIM*602216, TP53 OMIM*191170); CNV | EDTA-Blut, DNA; DNA | sequence capture; Sequencing-by-synthesis, MLPA | MOL.M.5040. MOL.M.2098. MOL.M.2093. P008 Sequence Pilot (Fa. JSI medical systems) | 01 04 05 5.2.0 | 01.10.2023 |

| Analyt (Meßgröße) | Untersuchungsmaterial (Eingangsmaterial; ggf. Testmaterial) | Untersuchungstechnik | Anweisung Pipeline/Kit/Panel | Version |
|--|--|---|--|---|
| Kongenitale / zyklische Neutropenie (ELANE OMIM*185535); SNV | EDTA-Blut, DNA; DNA | sequence capture; Sequencing-by-synthesis | MOL.M.5026. MOL.M.5029. MOL.M.5027. MOL.M.5028. MOL.M.2098. MOL.M.2093. Sequence Pilot (Fa. JSI medical systems) | 01 02 01 01 04 05 5.2.0 |
| Lactoseintoleranz (OMIM#223000, rs4988235 (-C13910T)) | EDTA-Blut, DNA; DNA | Fluoreszenz-markierte Hybridisierungssonden (Real-time PCR) | MOD.M.1006. | 06 |
| Mittelmeerfieber familiär (MEFV OMIM*608107); SNV | EDTA-Blut, DNA; DNA | sequence capture; Sequencing-by-synthesis | MOL.M.5026. MOL.M.5029. MOL.M.5027. MOL.M.5028. MOL.M.2098. MOL.M.2093. Sequence Pilot (Fa. JSI medical systems) | 01 02 01 01 04 05 5.2.0 |
| MLH1-Gen (OMIM#609310) | EDTA-Blut, DNA; DNA | PCR, Sequenzierung, MLPA | MOL.M.2094. MOL.M.2098. MOL.M.2093. | 05 04 05 |
| Morbus Wilson (ATP7B OMIM*606882); SNV, CNV | EDTA-Blut, DNA; DNA | sequence capture; Sequencing-by-synthesis; MLPA | MOL.M.5026. MOL.M.5029. MOL.M.5027. MOL.M.5028. MOL.M.2098. MOL.M.2093. Sequence Pilot (Fa. JSI medical systems) | 01 02 01 01 04 05 5.2.0 |
| MSH2-Gen (OMIM#120435) | EDTA-Blut, DNA; DNA | PCR, Sequenzierung, MLPA | MOL.M.2094. MOL.M.2098. MOL.M.2093. | 05 04 05 |
| MSH6-Gen (OMIM#614350) | EDTA-Blut, DNA; DNA | PCR, Sequenzierung, MLPA | MOL.M.2094. MOL.M.2098. MOL.M.2093. | 05 04 05 |
| MTHFR-Genotypisierung (Methylentetrahydrofolatreduktase-Defizienz, OMIM#236250, rs1801133 und rs1801131) | EDTA-Blut, DNA; DNA | PCR, Sequenzierung | MOL.M.3009. | 01 |

Datum der Aufnahme in den flex. Bereich

07.05.2021

07.05.2021

06.02.2023

| Analyt (Meßgröße) | Untersuchungsmaterial (Eingangsmaterial; ggf. Testmaterial) | Untersuchungstechnik | Anweisung Pipeline/Kit/Panel | Version |
|--|--|--|---|--|
| MUTYH-Gen (OMIM#608456) | EDTA-Blut, DNA; DNA | PCR, Sangersequenzierung, MLPA | MOL.M.2094. MOL.M.2098. MOL.M.2093. | 05 04 05 |
| MVK-Gen (OMIM#260920) | EDTA-Blut, DNA; DNA | PCR, Sequenzierung | MOL.M.2094. | 05 |
| N-Acetyltransferase 2 (NAT2)-Gen Polymorphismus (OMIM#243400) | EDTA-Blut, DNA; DNA | PCR, Sequenzierung | MOL.M.3011. | 01 |
| NLRP3-Gen (OMIM#607115 ,#120100, #191900) | EDTA-Blut, DNA; DNA | PCR, Sangersequenzierung | MOL.M.2094. | 05 |
| NOD2-Genotypisierung (OMIM*605956) der krankheitsassoziierten Polymorphismen rs2066844 (p.Arg702Trp), rs2066845 (p.Gly908Arg) und rs2066847 (p.Leu1007Profs*2) | EDTA-Blut, DNA; DNA | PCR, Sanger-Sequenzierung | MOL.M.2308. | 01 |
| NOTCH3-Gen (OMIM#125310) | EDTA-Blut, DNA; DNA | PCR, Sangersequenzierung | MOL.M.2094. | 05 |
| NPC1-Gen (OMIM#257220) | EDTA-Blut, DNA; DNA | PCR, Sangersequenzierung, MLPA | MOL.M.2094. MOL.M.2098. MOL.M.2093. | 05 04 05 |
| NPC2-Gen (OMIM#607625) | EDTA-Blut, DNA; DNA | PCR, Sangersequenzierung, MLPA | MOL.M.2094. MOL.M.2098. MOL.M.2093. | 05 04 05 |
| PAI (4G/5G) Polymorphismus (Risikofaktor für Thrombophilie) | EDTA-Blut, DNA; DNA | Fluoreszenz-markierte Hybridi- sierungssonden (Real-time PCR) | MOL.M.3003 | 01 |
| PALB2-Gen (OMIM#114480, #613348) | EDTA-Blut, DNA; DNA | PCR, Sangersequenzierung, MLPA | MOL.M.2094. MOL.M.2098. MOL.M.2093. | 05 04 05 |
| Periodische Fiebererkrankung (ELANE OMIM*130130, MEFV OMIM*608107, MVK OMIM*251170, NLRP3 OMIM*606416, TNFRSF1A OMIM*191190); SNV | EDTA-Blut, DNA; DNA | sequence capture (Illumina Nextera), Sequencing-by-synthesis | MOL.M.5026. MOL.M.5029. MOL.M.5027. MOL.M.5028. Sequence Pilot (Fa. JSI medical systems) | 01 02 01 01 5.2.0 2J002.1 |
| PMP22-Gen (OMIM#118220, #162500) | EDTA-Blut, DNA; DNA | PCR, Sequenzierung, MLPA | MOL.M.2094. MOL.M.2098. MOL.M.2093. | 05 04 05 |
| PMS2-Gen (OMIM#614337) | EDTA-Blut, DNA; DNA | PCR, Sangersequenzierung, MLPA | MOL.M.2094. MOL.M.2098. MOL.M.2093. | 05 04 05 |

 Datum der Aufnahme in den
flex. Bereich

19.11.2020

07.05.2021

| Analyt (Meßgröße) | Untersuchungsmaterial (Eingangsmaterial; ggf. Testmaterial) | Untersuchungstechnik | Anweisung Pipeline/Kit/Panel | Version | Datum der Aufnahme in den flex. Bereich |
|---|---|---|--|--|---|
| Polyposis, FAP und JPS: (APC OMIM*611731, BMPR1A OMIM*601299, MUTYH OMIM*604933, SMAD4 OMIM*600993, STK11 OMIM*602216, TP53 OMIM*191170); SNV | EDTA-Blut, DNA; DNA | sequence capture; Sequencing-by-synthesis | MOL.M.5026. MOL.M.5029. MOL.M.5027. MOL.M.5028. Sequence Pilot (Fa. JSI medical systems) | 01 02 01 01 5.2.0 2H014.1 | 07.05.2021 |
| Polyposis, FAP und JPS (APC OMIM*611731, BMPR1A OMIM*601299, MUTYH OMIM*604933, SMAD4 OMIM*600993, STK11 OMIM*602216, TP53 OMIM*191170); CNV | EDTA-Blut, DNA; DNA | sequence capture; Sequencing-by-synthesis | MOL.M.5040. Sequence Pilot (Fa. JSI medical systems) | 01 5.2.0 | 01.10.2023 |
| Protein C (PROC)-Defizienz (OMIM#176860 und #612304) | EDTA-Blut, DNA; DNA | PCR, Sequenzierung | MOL.M.2094. | 05 | 01.01.2024 |
| SMAD4-Gen (OMIM#174900, #260350) | EDTA-Blut, DNA; DNA | PCR, Sangersequenzierung, MLPA | MOL.M.2094. MOL.M.2098. MOL.M.2093. | 05 04 05 | |
| SMN1 Deletion Exon 7 (OMIM#253300, #271150) | EDTA-Blut, DNA; DNA | PCR, MLPA | MOL.M.2098. MOL.M.2093. | 04 05 | |
| SPAST-Gen (OMIM#182601) | EDTA-Blut, DNA; DNA | PCR, Sangersequenzierung, MLPA | MOL.M.2094. MOL.M.2098. MOL.M.2093. | 05 04 05 | |
| SPINK1-Gen (OMIM#167800) | EDTA-Blut, DNA; DNA | PCR, Sangersequenzierung, MLPA | MOL.M.2094. MOL.M.2098. MOL.M.2093. | 05 04 05 | |
| SPTBN2-Gen (OMIM#600224) | EDTA-Blut, DNA; DNA | PCR, Sangersequenzierung | MOL.M.2094. | 05 | |
| STK11-Gen (OMIM#175200) | EDTA-Blut, DNA; DNA | PCR, Sangersequenzierung, MLPA | MOL.M.2094. MOL.M.2098. MOL.M.2093. | 05 04 05 | |
| SOD2-Genotypisierung (OMIM#612634, rs4880), Superoxid-Dismutase 2-Polymorphismus | EDTA-Blut, DNA; DNA | Fluoreszenz-markierte Hybridisierungssonden (Real-time PCR) | MOL.M.3008. | 01 | |
| TNFRSF1A-Gen (OMIM#142680) | EDTA-Blut, DNA; DNA | PCR, Sequenzierung | MOL.M.2094. | 05 | |
| Transthyretin (TTR) - Amyloidose (OMIM#105210) | EDTA-Blut, DNA; DNA | PCR, Sequenzierung | MOL.M.2094. | 05 | 01.01.2024 |
| TPMT-Genotypisierung vor Azathioprin-Therapie (rs1800462, rs1800460 und rs1142345) | EDTA-Blut, DNA; DNA | PCR, Sangersequenzierung | MOL.M.3005. | 02 | 06.02.2023 |
| UGT1A1-Genotypisierung (OMIM#143500, #218800, TAnTAA-Motiv) | EDTA-Blut, DNA; DNA | PCR+ Sanger-Sequenzierung | MOL.M.2300 | 01 | 20.08.2018 |

| Analyt (Meßgröße) | Untersuchungsmaterial (Eingangsmaterial; ggf. Testmaterial) | Untersuchungstechnik | Anweisung Pipeline/Kit/Panel | Version |
|--------------------------------|---|--------------------------------|------------------------------|---------|
| VHL-Gen (OMIM#193300, #171300) | EDTA-Blut, DNA; DNA | PCR, Sangersequenzierung, MLPA | MOL.M.2094. | 05 |
| | | | MOL.M.2098. | 04 |
| | | | MOL.M.2093. | 05 |

Datum der Aufnahme in den flex. Bereich

Untersuchungsgebiet: Mikrobiologie

Untersuchungsart:

Agglutinationsteste*

| Analyt (Meßgröße) | Untersuchungsmaterial (Matrix) | Untersuchungstechnik | Anweisung | Version |
|------------------------------------|--------------------------------|-----------------------|-------------|---------|
| Anti-Staphylolysin-Titer | Serum | Direkte Agglutination | IMM.M.2019. | 02 |
| Haemophilus influenzae Kapseltyp B | Isolate in Reinkultur | Gruber-Agglutination | MIK.M.0800. | 05 |
| VDRL | Serum, EDTA-Plasma | Direkte Agglutination | IMM.M.2018. | 03 |

Datum der Aufnahme in den flex. Bereich

Untersuchungsart:

Chromatographie (Immunchromatographie (IC))*

| Analyt (Meßgröße) | Untersuchungsmaterial (Matrix) | Untersuchungstechnik | Anweisung | Version |
|--|--------------------------------|----------------------|-------------|---------|
| MRSA (PBP2a) | Isolate in Reinkultur | Immunchromatographie | MIK.M.0800. | 05 |
| Carbapenemase (KPC, OXA-48, VIM, NDM, IMP) | Isolate in Reinkultur | Immunchromatographie | MIK.M.0800. | 05 |

Datum der Aufnahme in den flex. Bereich

Jan 24

Untersuchungsart:

Empfindlichkeitstestung von Bakterien, Pilzen*



| Analyt (Meßgröße) | Untersuchungsmaterial (Matrix) | Untersuchungstechnik | Anweisung | Version |
|--|--------------------------------|---|-------------|---------|
| Aerobe und fakultativ anaerobe schnell wachsende Bakterien | Isolate in Reinkultur | Agardiffusion, trägergebundene Gradientendiffusion | MIK.M.0005. | 08 |
| Aerobe und fakultativ anaerobe schnell wachsende Bakterien | Isolate in Reinkultur | Bouillondilutionsverfahren als minimale Hemmkonzentration (MHK)/Break-Point | MIK.G.3001. | 05 |
| Anaerobe Bakterien | Isolate in Reinkultur | trägergebundene Gradientendiffusion | MIK.M.0504. | 07 |
| Beta-Lactamase Bildner | Isolate in Reinkultur | Biochemische Reaktion auf Trägersubstanz mit Antibiotika | MIK.M.0800. | 05 |

Datum der Aufnahme in den flex. Bereich

| Analyt (Meßgröße) | Untersuchungsmaterial (Matrix) | Untersuchungstechnik | Anweisung | Version |
|-------------------|--------------------------------|--|----------------------------|----------|
| Candida spp. | Isolate in Reinkultur | Bouillondilutionsverfahren als minimale Hemmkonzentration (MHK)/Break-Point | MIK.M.0403. | 05 |
| ESBL | Isolate in Reinkultur | Bouillondilutionsverfahren als minimale Hemmkonzentration (MHK)/Break-Point, Agardiffusion | MIK.G.3001. MIK.M.0005. | 05 08 |
| MRGN | Isolate in Reinkultur | Bouillondilutionsverfahren als minimale Hemmkonzentration (MHK)/Break-Point, Agardiffusion | MIK.G.3001. MIK.M.0005. | 05 08 |
| MRSA | Isolate in Reinkultur | Bouillondilutionsverfahren als minimale Hemmkonzentration (MHK)/Break-Point, Agardiffusion | MIK.G.3001. MIK.M.0005. | 05 08 |
| VRE | Isolate in Reinkultur | Bouillondilutionsverfahren als minimale Hemmkonzentration (MHK)/Break-Point, Agardiffusion | MIK.G.3001. MIK.M.0005. | 05 08 |

Datum der Aufnahme in den flex. Bereich

**Untersuchungsart:
Keimidentifizierung***

| Analyt (Meßgröße) | Untersuchungsmaterial (Matrix) | Untersuchungstechnik | Anweisung | Version |
|---|--------------------------------|--|----------------------------|----------|
| Bakterien, Pilze  | Kultur | massenspektrometrische Erregerdifferenzierung (MALDI-TOF-MS), biochemisch aufwendig | MIK.M.0100. MIK.G.3001 | 04 05 |
| Sprosszellen, Dermatophyten, Schimmelpilze | Kultur | massenspektrometrische Erregerdifferenzierung (MALDI-TOF-MS), Mikroskopie | MIK.M.0403. | 05 |
|  Übergeordnet. Differenziert Bakterien, Pilze in Kultur: | | | | |
| Aerobe Aktinomyceten | Kultur | massenspektrometrische Erregerdifferenzierung (MALDI-TOF-MS) | MIK.M.0100. | 04 |
| Aerobe Sporenbildner | Kultur | massenspektrometrische Erregerdifferenzierung (MALDI-TOF-MS) | MIK.M.0100. | 04 |
| Aeromonas spp. | Kultur | massenspektrometrische Erregerdifferenzierung (MALDI-TOF-MS), biochemisch aufwendig | MIK.M.0100. MIK.G.3001. | 04 05 |

Datum der Aufnahme in den flex. Bereich

| Übergeordnet. Differenziert Bakterien, Pilze in Kultur: | | | | |
|---|--------|---|----------------------------|----------|
| Anaerobe Bakterien | Kultur | massenspektrometrische Erregerdifferenzierung (MALDI-TOF-MS), biochemisch aufwendig | MIK.M.0100. MIK.G.3001. | 04 05 |
| Campylobacter spp. | Kultur | massenspektrometrische Erregerdifferenzierung (MALDI-TOF-MS) | MIK.M.0100. | 04 |
| Clostridium difficile | Kultur | massenspektrometrische Erregerdifferenzierung (MALDI-TOF-MS), biochemisch aufwendig | MIK.M.0100. | 04 |
| Corynebacteria spp. | Kultur | massenspektrometrische Erregerdifferenzierung (MALDI-TOF-MS) | MIK.M.0100. | 04 |
| Enterobacteriaceae | Kultur | massenspektrometrische Erregerdifferenzierung (MALDI-TOF-MS), biochemisch aufwendig | MIK.M.0100. MIK.G.3001. | 04 05 |
| Enterococcus spp. | Kultur | massenspektrometrische Erregerdifferenzierung (MALDI-TOF-MS), biochemisch aufwendig | MIK.M.0100. MIK.G.3001. | 04 05 |
| Gardnerella spp. | Kultur | massenspektrometrische Erregerdifferenzierung (MALDI-TOF-MS) | MIK.M.0100. | 04 |
| Haemophilus spp. | Kultur | massenspektrometrische Erregerdifferenzierung (MALDI-TOF-MS) | MIK.M.0100. | 04 |
| Legionella spp. | Kultur | massenspektrometrische Erregerdifferenzierung (MALDI-TOF-MS) | MIK.M.0100. | 04 |
| Listeria spp. | Kultur | massenspektrometrische Erregerdifferenzierung (MALDI-TOF-MS), biochemisch aufwendig | MIK.M.0100. MIK.G.3001. | 04 05 |
| MRGN | Kultur | massenspektrometrische Erregerdifferenzierung (MALDI-TOF-MS), biochemisch aufwendig | MIK.M.0100. MIK.G.3001. | 04 05 |
| MRSA | Kultur | massenspektrometrische Erregerdifferenzierung (MALDI-TOF-MS), biochemisch aufwendig | MIK.M.0100. MIK.G.3001. | 04 05 |
| Neisseria spp. | Kultur | massenspektrometrische Erregerdifferenzierung (MALDI-TOF-MS) | MIK.M.0100. | 04 |

| Übergeordnet. Differenziert Bakterien, Pilze in Kultur: | | | | |
|---|--------|---|----------------------------|----------|
| Pasteurella spp. | Kultur | massenspektrometrische Erregerdifferenzierung (MALDI-TOF-MS) | MIK.M.0100. | 04 |
| Pseudomonaden und Nonfermenter | Kultur | massenspektrometrische Erregerdifferenzierung (MALDI-TOF-MS), biochemisch aufwendig | MIK.M.0100. MIK.G.3001. | 04 05 |
| Salmonella spp. | Kultur | massenspektrometrische Erregerdifferenzierung (MALDI-TOF-MS), biochemisch aufwendig | MIK.M.0100. MIK.G.3001. | 04 05 |
| Shigella spp. | Kultur | biochemisch aufwendig | MIK.G.3001. | 05 |
| Staphylococcus spp. | Kultur | massenspektrometrische Erregerdifferenzierung (MALDI-TOF-MS), biochemisch aufwendig | MIK.M.0100. MIK.G.3001. | 04 05 |
| Streptococcus spp. | Kultur | massenspektrometrische Erregerdifferenzierung (MALDI-TOF-MS), biochemisch aufwendig | MIK.M.0100. MIK.G.3001. | 04 05 |
| VRE | Kultur | massenspektrometrische Erregerdifferenzierung (MALDI-TOF-MS), biochemisch aufwendig | MIK.M.0100. MIK.G.3001. | 04 05 |
| Yersinien spp. | Kultur | massenspektrometrische Erregerdifferenzierung (MALDI-TOF-MS), biochemisch aufwendig | MIK.M.0100. MIK.G.3001. | 04 05 |

Untersuchungsart:
Kulturelle Untersuchungen*

| Analyt (Meßgröße) | Untersuchungsmaterial (Matrix) | Untersuchungstechnik | Anweisung | Version |
|--|--|---|---|----------------|
| Aerobe und fakultativ anaerobe wachsende Bakterien | Körperflüssigkeiten, Abstriche, Punktate, Gewebe | Anzucht spezifisch und unspezifisch, z.T.: CO2 angereicherte, aerobe, mikroaerobe Atmosphäre, Temperatur abhängig | MIK.M.0800. MIK.M.0810. MIK.M.0820. | 05 03 01 |
| Anaerobe Bakterien | Körperflüssigkeiten, Abstriche, Punktate, Gewebe | Anzucht spezifisch und unspezifisch, anaerobe Atmosphäre | MIK.M.0504. | 07 |

Datum der Aufnahme in den flex. Bereich

| Analyt (Meßgröße) | Untersuchungsmaterial (Matrix) | Untersuchungstechnik | Anweisung | Version |
|--|--|---|---|----------------|
| Blutkulturen | Blutkulturen, Punktate, Liquor | Blutkulturverfahren vollmechanisiert | MIK.G.2000. MIK.G.2002. MIK.G.2003. | 02 01 01 |
| Nachweis von Wachstum von Bakterien hemmenden Substanzen (Hemmstoffen) | Urin, Körperflüssigkeiten | Inhibition von Wachstum von Bacillus Sporen (Hemmstofftest) | MIK.M.0810. | 03 |
| Mykobakterien | resp. Material, Urin, Stuhl, Punktate, Gewebe | Anzucht spezifisch | MIK.M.0251. | 07 |
| Sprosszellen, Dermatophyten und Schimmelpilze | Körperflüssigkeiten, Abstriche, Punktate, Gewebe | Anzucht spezifisch und unspezifisch, Temperatur abhängig | MIK.M.0403. | 05 |

Datum der Aufnahme in den flex. Bereich

**Untersuchungsart:
Ligandenassays***

| Analyt (Meßgröße) | Untersuchungsmaterial (Matrix) | Untersuchungstechnik | Anweisung | Version |
|--|--|----------------------|-------------|---------|
| Bordetella pertussis Toxin IgG | Serum, Heparin-Plasma, EDTA- Plasma, Citrat-Plasma | ELISA | AUT.M.1002. | 001 |
| Borrelia burgdorferi IgG/ IgM | Serum, EDTA-Plasma | Immunoblot | IMM.M.2026 | 04 |
| Borrelien IgG-, IgM-Ak | Serum, Heparin-Plasma, EDTA- Plasma, Citrat-Plasma | ELISA | AUT.M.0006. | 05 |
| Borrelien IgG/IgM-Ak | Liquor und Serum | ELISA | AUT.M.0047. | 05 |
| Campylobacter IgA-Ak | Serum, Heparin-Plasma, EDTA- Plasma, Citrat-Plasma | ELISA | AUT.M.1003. | 001 |
| Chlamydia pneumoniae IgG-, IgA-AK | Serum, EDTA-Plasma | ELISA | AUT.M.0003. | 09 |
| Chlamydia trachomatis IgG-, IgA-AK | Serum, EDTA-Plasma | ELISA | AUT.M.0003. | 09 |
| Clostridioides difficile GDH und Toxin | Stuhl | CLIA | MIK.M.0623. | 03 |
| Diphtherie - Ak | Serum, Heparin-Plasma, EDTA- Plasma, Citrat-Plasma | ELISA | AUT.M.1006. | 001 |
| Helicobacter pylori Antigen | Stuhl | CLIA | MIK.M.0600. | 04 |
| Legionellen Schnelltest | Urin | Immunfluoreszenz | CHE.M.3003. | 02 |
| Lues- IgG-, IgM-Ak | Serum, Heparin-Plasma, EDTA- Plasma, Citrat-Plasma, Liquor | ELISA | AUT.M.0001. | 08 |
| Mycoplasma pneumoniae IgG-, IgA-, IgM-AK | Serum, Heparin-Plasma, EDTA- Plasma, Citrat-Plasma | ELISA | AUT.M.0034. | 07 |

Datum der Aufnahme in den flex. Bereich

04.11.2020

21.03.2024

21.03.2024

12.01.2018

| Analyt (Meßgröße) | Untersuchungsmaterial (Matrix) | Untersuchungstechnik | Anweisung | Version |
|-------------------------------|--|----------------------|-------------|---------|
| Tetanus Antitoxin IgG | Serum, Heparin-Plasma, EDTA- Plasma, Citrat-Plasma | ELISA | AUT.M.0038. | 05 |
| Toxoplasmose IgG- und IgM- Ak | Serum, Heparin-Plasma, EDTA- Plasma | CLIA | CHE.M.2036. | 02 |
| Treponema pallidum IgG/IgM | Serum, EDTA-Plasma | Immunoblot | IMM.M.2000. | 11 |
| Treponema Screen | Serum, Heparin-Plasma, EDTA- Plasma, Citrat-Plasma | CLIA | AUT.M.0070. | 04 |
| Yersinien IgG-, IgA-AK | Serum, EDTA-Plasma | Immunoblot | IMM.M.2025. | 04 |

Datum der Aufnahme in den flex. Bereich

04.11.2020

Untersuchungsart:
Mikroskopie*

| Analyt (Meßgröße) | Untersuchungsmaterial (Matrix) | Untersuchungstechnik | Anweisung | Version |
|---|--|---|--------------|---------|
| Bakterien | Körperflüssigkeiten, Abstriche, Punktate, Gewebe | Hellfeldmikroskopie nach Anfärbung mittels Farbstoffen | MIK.M.0503. | 02 |
| Mykobakterien | resp. Material, Körperflüssigkeiten | Hellfeldmikroskopie nach Anfärbung mittels Farbstoffen | MIK.M.0503. | 02 |
| Parasiten | Stuhl, Klebefilmabklatsch | Hellfeldmikroskopie ohne und nach Anfärbung mittels Farbstoffen | MIK.M.0450. | 04 |
| Malaria | EDTA-Blut, Kapillar-Blut | Mikroskopie | HÄM.M.0010. | 10 |
| Sprosszellen, Dermatophyten und Schimmelpilze | Isolat in Reinkultur | Hellfeldmikroskopie ohne und nach Anfärbung mittels Farbstoffen | MIK. M.0403. | 05 |

Datum der Aufnahme in den flex. Bereich

Untersuchungsart:
Molekularbiologische Untersuchungen (Amplifikationsverfahren)*

| Analyt (Meßgröße) | Untersuchungsmaterial (Matrix) | Untersuchungstechnik | Anweisung | Version |
|---|--|--|---|----------------------------|
| Nukleinsäure | <p>* Nukleinsäurepräparation A+B: Abstrich, Trachealsekret, BAL, Bronchialsekret, Sputum, Rachenspühlwasser, Respiratorisches Material, Gewebe, Serum, EDTA-Blut, EDTA-Plasma, Citrat-Blut, Citrat-Plasma, Stuhl, Liquor, Kulturmaterial, Urin, Punktat, Ejakulat, Speichel</p> <p>* Nukleinsäurepräparation C: Abstrich, Trachealsekret, BAL, Bronchialsekret, Sputum, Respiratorisches Material, Rachenspühlwasser</p> | <p>A+B: Magnetic Beads Präparation C: Chromatographische Aufreinigung</p> | <p>A: MOD.G.0026. B: MOD.G.0024. B: MOD.G.0017. C: MOD.M.0011.</p> | <p>1 1 3 1</p> |
| 16s-rDNA-Sequenzierung | Bakterienkolonien auf Agarplatten, Bakteriensuspension | PCR, Sequenzierung | MOL.M.2050. | 11 |
| 18s-rDNA-Sequenzierung | Pilzkolonien auf Agarplatten, Pilzsuspension | PCR, Sequenzierung | MOL.M.2050. | 11 |
| B.pertussis/parapertussis | Abstrich, BAL | isothermale Amplifikation | MOD.M.2174 | 01 |
| Chlamydia trachomatis und Neisseria gonorrhoeae DNA, qualitativ | Abstrich, Urin | Nukleinsäureamplifikation mit paralleler Detection der Amplifikate über Sondenhybridisierung | MOD.M.2039 | 01 |
| Chlamydophila pneumoniae und Mycoplasma pneumoniae DNA qualitativ | * Nukleinsäurepräparation A+B aus Abstrich, Trachealsekret, BAL | Nukleinsäureamplifikation mit paralleler Detection der Amplifikate über Sondenhybridisierung | MOD.M.2144. | 02 |
| Gastro-Bakterien (Campylobacter, Salmonella, Shigella, Yersinia, Clostridium difficile, E.coli O157, STEC(STx1/2) | * Nukleinsäurepräparation A+B aus Stuhl | Real-Time PCR | MOD.M.2176 | 02 |
| Methicillin resistente S. aureus (MRSA)-DNA qualitativ | Abstrich | Nukleinsäureamplifikation mit paralleler Detection der Amplifikate über Sondenhybridisierung | MOD.M.2147. | 03 |

Datum der Aufnahme in den flex. Bereich

| Analyt (Meßgröße) | Untersuchungsmaterial (Matrix) | Untersuchungstechnik | Anweisung | Version |
|---|--|--|-------------|---------|
| Mycobacterium tuberculosis Komplex und Rifampicin-vermittelnde Mutation im rpoB-Gen | Sputum, BAL, Liquor, Kulturmaterial, resp. Material | Nukleinsäureamplifikation mit paralleler Detection der Amplifikate über Sondenhybridisierung | MIK.M.0252. | 02 |
| Parodontitis Erreger DNA qualitativ | Papierspitze aus Zahnfleischtasche | Nukleinsäureamplifikation Detection der Amplifikate über Festphasen-Sondenhybridisierung | MOD.M.2020. | 05 |
| Pneumocystis jirovecii | * Nukleinsäurepräparation A+B aus Abstrich, Trachealsekret, BAL | Nukleinsäureamplifikation mit paralleler Detection der Amplifikate über Sondenhybridisierung | MOD.M.2138. | 03 |
| Sexual-transmitted Infections (STI) Multiplex-PCR: Chlamydia trachomatis, N. gonorrhoeae, T.vaginalis, U.urealyticum, U.parvum, M.hominis, M.genitalium | * Nukleinsäurepräparation A+B aus Abstrich, Urin | Nukleinsäureamplifikation mit paralleler Detection der Amplifikate über Sondenhybridisierung | MOD.M.2164. | 03 |

Datum der Aufnahme in den flex. Bereich

Untersuchungsart:
Qualitative Untersuchungen (einfache) mit visueller Auswertung

| Analyt (Meßgröße) | Untersuchungsmaterial (Matrix) | Untersuchungstechnik | Anweisung | Version |
|--|--------------------------------|-------------------------------------|-------------|---------|
| Differenzierung katalasepositiver / katalasenegativer Bakterien | Einzelkolonie | biochemisch orientierend (Katalase) | MIK.M.0800. | 05 |
| Differenzierung koagulasepositiver / koagulase negativer Bakterien | Einzelkolonie | biochemisch einfach (Koagulase) | MIK.M.0800. | 05 |
| Differenzierung oxidasepositiver / oxidasenegativer Bakterien | Einzelkolonie | biochemisch orientierend (Oxidase) | MIK.M.0800. | 05 |

Datum der Aufnahme in den flex. Bereich

Untersuchungsart:
Spektrometrie (Turbidimetrie / Immunturbidimetrie)*

| Analyt (Meßgröße) | Untersuchungsmaterial (Matrix) | Untersuchungstechnik | Anweisung | Version |
|-------------------------|-------------------------------------|----------------------|-------------|---------|
| Anti-Streptolysin-Titer | Serum, Heparin-Plasma, EDTA- Plasma | Turbidimetrie | CHE.M.0004. | 02 |

Datum der Aufnahme in den flex. Bereich

Untersuchungsart:
Zellfunktionstests*

| Analyt (Meßgröße) | Untersuchungsmaterial (Matrix) | Untersuchungstechnik | Anweisung | Version |
|---|--------------------------------|--|-------------|---------|
| Freisetzung von IFNg nach Stimulation mit Antigenen von M. tuberculosis | Blut in Li-Heparin Röhrchen | Zytokinfreisetzung, Messung des Zytokins mittels ELISA | MIK.M.0610. | 04 |

Datum der Aufnahme in den flex. Bereich

Untersuchungsgebiet: Virologie
Untersuchungsart:
Ligandenassays **

| Analyt (Meßgröße) | Untersuchungsmaterial (Matrix) | Untersuchungstechnik | Anweisung | Version |
|--|--|----------------------|-------------|---------|
| Adenoviren-AG | Stuhl | ELISA | MIK.M.0600. | 04 |
| Adenovirus-IgG/IgA-Ak | Serum, Heparin-Plasma, EDTA- Plasma, Citrat-Plasma | ELISA | AUT.M.1001. | 001 |
| Neutralisierende Antikörper gegen SARS-CoV-2 IgG | Serum, EDTA -Plasma, Lithium- Heparin-Plasma | CLIA | AUT.M.0086 | 02 |
| Anti-Sars-CoV-2-NCP IgG | Serum, Heparin-Plasma, EDTA- Plasma, Citrat-Plasma | ELISA | AUT.M.0082. | 01 |
| CMV-IgG/-IgM-Ak | Serum, EDTA- Plasma | CLIA | AUT.M.0026. | 09 |
| Coxsackie-IgG-, IgA-Ak | Serum, Heparin-Plasma, EDTA- Plasma, Citrat-Plasma | ELISA | AUT.M.0025. | 07 |
| EBV: EBNA-IgG-AK | Serum, Heparin-Plasma, EDTA- Plasma, Citrat-Plasma | ELISA | AUT.M.0028. | 05 |
| EBV: VCA-IgG-Ak | Serum, Heparin-Plasma, EDTA- Plasma, Citrat-Plasma | ELISA | AUT.M.0028. | 05 |
| EBV: VCA-IgM-Ak | Serum, Heparin-Plasma, EDTA- Plasma, Citrat-Plasma | ELISA | AUT.M.0028. | 05 |
| HBeAntigen | Serum, Lithium- Heparin-Plasma, Natrium-Heparin-Plasma, EDTA- Plasma | CLIA | CHE.M.2034. | 02 |
| Hepatitis A-Ak | Serum, Lithium- Heparin-Plasma, Natrium-Heparin-Plasma, EDTA- Plasma | CLIA | CHE.M.2033. | 01 |
| Hepatitis A-IgM | Serum, Lithium- Heparin-Plasma, Natrium-Heparin-Plasma, EDTA- Plasma | CLIA | CHE.M.2033. | 01 |

Datum der Aufnahme in den flex. Bereich

22.06.2021

01.07.2020

16.02.2024

| Analyt (Meßgröße) | Untersuchungsmaterial (Matrix) | Untersuchungstechnik | Anweisung | Version |
|---------------------------------------|---|--------------------------|-------------|---------|
| Hepatitis B HBsAg-Bestätigungstest | Serum, Lithium- Heparin-Plasma, Natrium-Heparin-Plasma, EDTA- Plasma | CLIA | CHE.M.2034. | 02 |
| Hepatitis B HBc-Ak | Serum, EDTA-Plasma | CLIA | CHE.M.2034. | 02 |
| Hepatitis B HBc-IgM | Serum, Lithium- Heparin-Plasma, Natrium-Heparin-Plasma, EDTA- Plasma | CLIA | CHE.M.2034. | 02 |
| Hepatitis B HBe-Ak | Serum, Lithium- Heparin-Plasma, Natrium-Heparin-Plasma, EDTA- Plasma | CLIA | CHE.M.2034. | 02 |
| Hepatitis B HBsAg | Serum, Lithium- Heparin-Plasma, Natrium-Heparin-Plasma, EDTA- Plasma | CLIA | CHE.M.2034. | 02 |
| Hepatitis B HBs-Ak | Serum, Lithium- Heparin-Plasma, Natrium-Heparin-Plasma, EDTA- Plasma | CLIA | CHE.M.2034. | 02 |
| Hepatitis C-Ak | Serum, Lithium- Heparin-Plasma, Natrium-Heparin-Plasma, EDTA- Plasma | CLIA | CHE.M.2035. | 03 |
| Hepatitis C | Serum, EDTA-Plasma | rekombinanter Immunoblot | IMM.M.2004. | 10 |
| HIV 1/2 Antikörper | Serum, Heparin-Plasma, EDTA-Plasma, Citrat-Plasma, CPD-Plasma | Immunoblot | IMM.M.2011. | 09 |
| HIV (1/2- Ak, p24 Ag) | Serum, EDTA-Plasma | CLIA | CHE.M.2032. | 03 |
| HSV 1/2-IgG-Ak | Liquor, Serum | ELISA | AUT.M.0047. | 05 |
| HSV 1/2 IgG-AK | Serum, Heparin-Plasma, EDTA- Plasma, Citrat-Plasma | CLIA | AUT.M.0087. | 01 |
| HSV 1/2 IgM-AK | Serum, Heparin-Plasma, EDTA- Plasma, Citrat-Plasma | CLIA | AUT.M.0088. | 01 |
| HTLV I/II | Serum, EDTA-Plasma, Li-Heparin-Plasma ,Na-Heparin-Plasma | CLIA | AUT.M.0083. | 03 |
| Influenza A-IgA-Ak | Serum, Heparin-Plasma, EDTA- Plasma, Citrat-Plasma | ELISA | AUT.M.0031. | 07 |
| Influenza B-IgA-Ak | Serum, Heparin-Plasma, EDTA- Plasma, Citrat-Plasma | ELISA | AUT.M.0031. | 07 |
| Masern-IgG-/IgM-Ak | Serum, Heparin-Plasma, EDTA- Plasma, Citrat-Plasma | ELISA | AUT.M.0032. | 06 |
| Masern-IgG-Ak Index | Liquor, Serum | ELISA | AUT.M.0047. | 05 |
| Mumps-IgG-/IgM-Ak | Serum, Heparin-Plasma, EDTA- Plasma, Citrat-Plasma | ELISA | AUT.M.0033. | 06 |
| Parvovirus B19-IgG-/IgM-Ak | Serum, Heparin-Plasma, EDTA- Plasma, Citrat-Plasma | ELISA | AUT.M.0036. | 04 |

 Datum der Aufnahme in den
flex. Bereich

19.08.2022

30.05.2022

30.05.2022

11.2021

| Analyt (Meßgröße) | Untersuchungsmaterial (Matrix) | Untersuchungstechnik | Anweisung | Version |
|----------------------------|--|----------------------|--------------------|-----------|
| Rotaviren-AG | Stuhl | ELISA | MIK.M.0600. | 04 |
| Röteln-IgG/-IgM-Ak | Serum, Heparin-Plasma, EDTA- Plasma | CLIA | CHE.M.2037. | 02 |
| Röteln-IgG-Ak Index | Liquor, Serum | ELISA | AUT.M.0047. | 05 |
| VZV-IgG-/IgA-/IgM-Ak | Serum, Heparin-Plasma, EDTA- Plasma, Citrat-Plasma | ELISA | AUT.M.0039. | 06 |
| VZV-IgG-Ak | Liquor, Serum | ELISA | AUT.M.0047. | 05 |

Datum der Aufnahme in den flex. Bereich

Untersuchungsart:
Molekularbiologische Untersuchungen (Amplifikationsverfahren)*

| Analyt (Meßgröße) | Untersuchungsmaterial (Matrix) | Untersuchungstechnik | Anweisung | Version |
|---|--|--|-------------------|------------|
| CMV-DNA qualitativ | * Nukleinsäurepräparation A+B aus EDTA-Blut, Sputum, Urin, Liquor | Nukleinsäureamplifikation mit paralleler Detektion der Amplifikate über Sondenhybridisierung | MOD.M.2190. | 02 |
| EBV DNA qualitativ | * Nukleinsäurepräparation A+B EDTA-Blut, Liquor, BAL, Speichel | Nukleinsäureamplifikation mit paralleler Detektion der Amplifikate über Sondenhybridisierung | MOD.M.2190. | 02 |
| Enteroviren | * Nukleinsäurepräparation A+B aus Liquor | Nukleinsäureamplifikation mit paralleler Detection der Amplifikate über Sondenhybridisierung | MOD.M.2156. | 04 |
| Gastro-Virus Multiplex Norovirus I+II, Adeno-, Rota-, Astro-, Sapovirus | * Nukleinsäurepräparation A+B aus Stuhl | Nukleinsäureamplifikation mit paralleler Detection der Amplifikate über Sondenhybridisierung | MOD.M.2167. | 02 |
| HBV DNA quantitativ | EDTA-Plasma, Citrat-Plasma, Serum | Nukleinsäureamplifikation mit paralleler Detection der Amplifikate über TaqMan Sondenhybridisierung | MOD.M.2031 | 001 |
| HBV DNA qualitativ und quantitativ | * Nukleinsäurepräparation A+B aus EDTA-Plasma, Citrat-Plasma, Serum | Nukleinsäureamplifikation mit paralleler Detektion der Amplifikate über Sondenhybridisierung | MOD.M.2157. | 06 |

Datum der Aufnahme in den flex. Bereich

04.11.2024

| Analyt (Meßgröße) | Untersuchungsmaterial (Matrix) | Untersuchungstechnik | Anweisung | Version |
|--|--|---|--|----------------------|
| HCV RNA qualitativ | * Nukleinsäurepräparation A+B aus EDTA-Plasma, Citrat-Plasma, Serum | Nukleinsäureamplifikation mit paralleler Detection der Amplifikate über TaqMan Sondenhybridisierung | MOD.M.2168. | 02 |
| HCV RNA qualitativ & quantitativ | EDTA-Plasma, Citrat-Plasma, Serum | Nukleinsäureamplifikation mit paralleler Detection der Amplifikate über TaqMan Sondenhybridisierung | MOD.M.2041. | 01 |
| HCV-Genotypisierung | EDTA-Plasma, Citrat-Plasma, Serum | Nested-PCR+ Sangersequenzierung Seq. in 5'NCR | MOL.M.1005. MOL.M.1006. | 08 07 |
| HIV-1 Resistenzbestimmung, genotypisch | EDTA-Plasma | Nested-PCR+ Sangersequenzierung | MOL.M.1001. MOL.M.1002. MOL.M.1003. MOL.M.1004. | 08 09 06 04 |
| HIV-1-RNA qualitativ & quantitativ | EDTA-Plasma, Citrat-Plasma, | Nukleinsäureamplifikation mit paralleler Detection der Amplifikate über TaqMan Sondenhybridisierung | MOD.M.2040. | 01 |
| HIV-1/HIV-2 RNA qualitativ | * Nukleinsäurepräparation A+B aus EDTA-Plasma, Serum | Real-Time PCR = Nukleinsäureamplifikation mit paralleler Detection der Amplifikate über TaqMan Sondenhybridisierung | MOD.M.2175. | 03 |
| HSV DNA qualitativ | * Nukleinsäurepräparation A+B aus Liquor, Abstrich | Nukleinsäureamplifikation mit paralleler Detektion der Amplifikate über Sondenhybridisierung | MOD.M.2190. | 02 |
| Humanes Papilloma Virus | * Nukleinsäurepräparation A+B aus Abstriche | Nukleinsäureamplifikation mit paralleler Detection der Amplifikate über Sondenhybridisierung | MOD.M.2165. | 02 |
| Influenza A+B & RSV | * Nukleinsäurepräparation A+B aus Abstriche, BAL, Trachealsekret | Nukleinsäureamplifikation mit paralleler Detection der Amplifikate über TaqMan Sondenhybridisierung | MOD.M.2172. MOD.M.2192. | 01 01 |
| Influenza | * Nukleinsäurepräparation A+B aus Abstriche, BAL, Trachealsekret | Nukleinsäureamplifikation mit paralleler Detection der Amplifikate über TaqMan Sondenhybridisierung | MOD.M.2193. | 01 |

Datum der Aufnahme in den flex. Bereich

14.06.2023

| Analyt (Meßgröße) | Untersuchungsmaterial (Matrix) | Untersuchungstechnik | Anweisung | Version | Datum der Aufnahme in den flex. Bereich |
|--|--|---|---|----------------------------|---|
| Influenza A/B, SARS-CoV-2, RSV (Respi akut Winter-Triplex) | * Nukleinsäurepräparation A+B aus Abstriche, BAL, Trachealsekret | Nukleinsäureamplifikation mit paralleler Detection der Amplifikate über Sondenhybridisierung | MOD.M.2194 | 001 | 01.11.2024 |
| Norovirus | * Nukleinsäurepräparation A+B aus Stuhl | Nukleinsäureamplifikation mit paralleler Detection der Amplifikate über TaqMan Sondenhybridisierung | MOD.M.2171. | 03 | |
| SARS-CoV-2 /Coronavirus qualitativ | * Nukleinsäurepräparation A+B+C aus Abstriche, BAL, Trachealsekret, Rachenspülwasser | Real-Time PCR = Nukleinsäureamplifikation mit paralleler Detection der Amplifikate über TaqMan Sondenhybridisierung | MOD.M.2042. MOD.M.2179. MOD.M.2180. MOD.M.2183. MOD.M.2184. | 01 05 04 02 02 | |
| SARS-CoV-2-Variante | Abstrich | Next generation Sequencing (NGS), ampliconbasiert | MOL.M.1016. | 02 | 01.02.2021 |
| VZV-DNA qualitativ | * Nukleinsäurepräparation A+B aus Liquor, Abstrich | Nukleinsäureamplifikation mit paralleler Detektion der Amplifikate über Sondenhybridisierung | MOD.M.2190. | 02 | |

Untersuchungsgebiet: Transfusionsmedizin

Untersuchungsart:

Agglutinationsteste*

| Analyt (Meßgröße) | Untersuchungsmaterial (Matrix) | Untersuchungstechnik | Anweisung | Version | Datum der Aufnahme in den flex. Bereich |
|----------------------------------|--------------------------------|---|-------------|---------|---|
| Antikörper-Differenzierung | Nativ-Vollblut, EDTA-Vollblut | Gelzentrifugations-Methode | IMM.M.0006. | 001 | |
| Coombstest, direkt | Nativ-Vollblut, EDTA-Vollblut | Gelzentrifugations-Methode | IMM.M.0006. | 001 | |
| Coombstest, indirekt | Nativ-Vollblut, EDTA-Vollblut | Gelzentrifugationsmethode, manuelle Verfahren | IMM.M.0003. | 03 | |
| Blutgruppenbestimmung ABO-System | Nativ-Vollblut, EDTA-Vollblut | Hämagglutination, Capture R ELISA Festphasentechnik | IMM.M.0005 | 001 | 30.09.2024 |
| Rhesus-Faktor (Rh-Formel) | Nativ-Vollblut, EDTA-Vollblut | Hämagglutination, Capture R ELISA Festphasentechnik | IMM.M.0005 | 001 | 30.09.2024 |

| Analyt (Meßgröße) | Untersuchungsmaterial (Matrix) | Untersuchungstechnik | Anweisung | Version | Datum der Aufnahme in den flex. Bereich |
|--|--------------------------------|--|-------------|---------|---|
| Kell-Antigen | Nativ-Vollblut, EDTA-Vollblut | Hämagglutination, Capture R ELISA Festphasentechnik | IMM.M.0005 | 001 | 30.09.2024 |
| Suche nach irregulären Antikörpern | Nativ-Vollblut, EDTA-Vollblut | Gelzentrifugationsmethode, manuelle Verfahren | IMM.M.0003. | 03 | |
| Automatisierte Blutgruppen- und Antikörperbestimmung | EDTA-Vollblut | Hämagglutination, Capture R ELISA Festphasentechnik | IMM.M.0005 | 001 | 30.09.2024 |